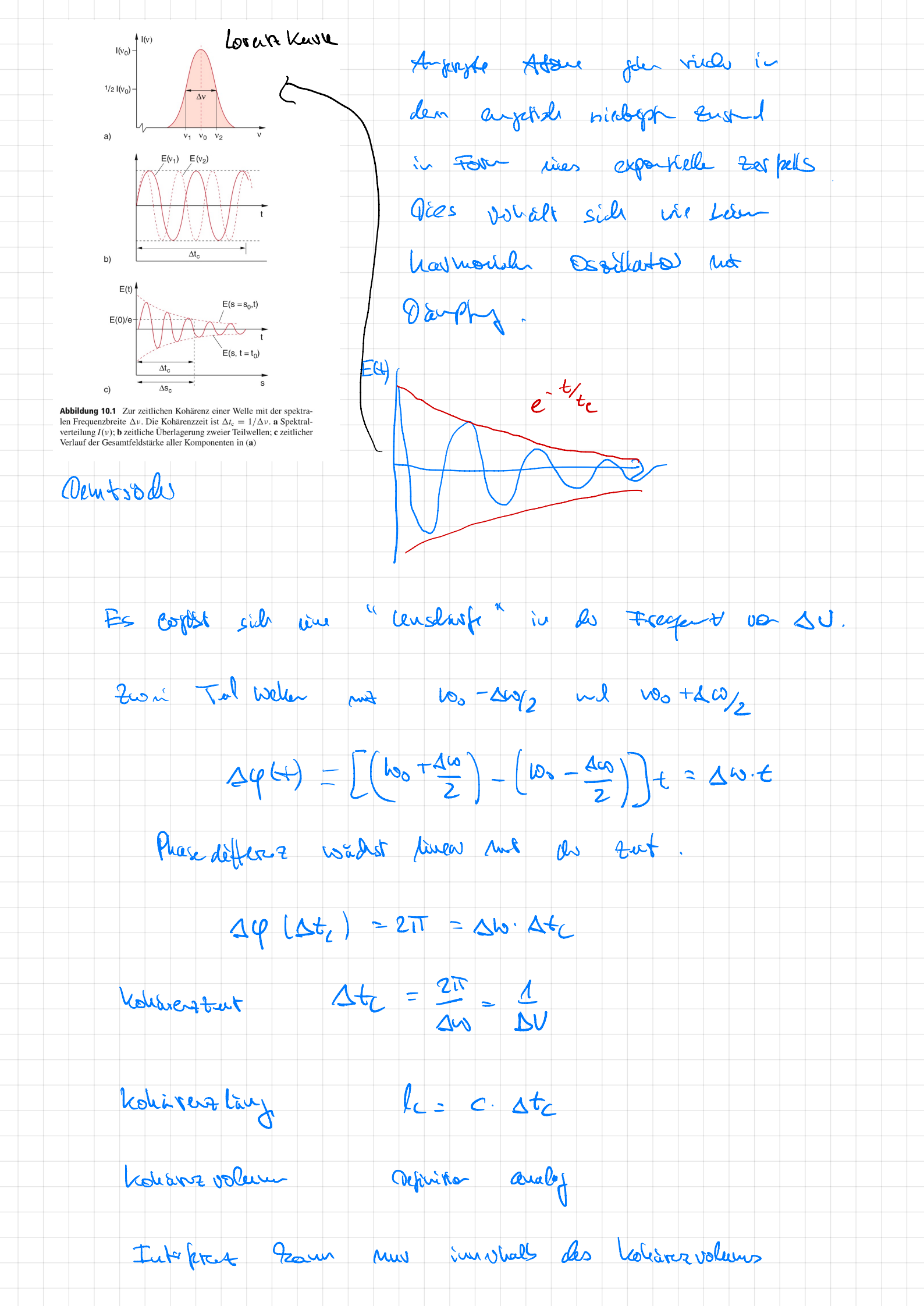
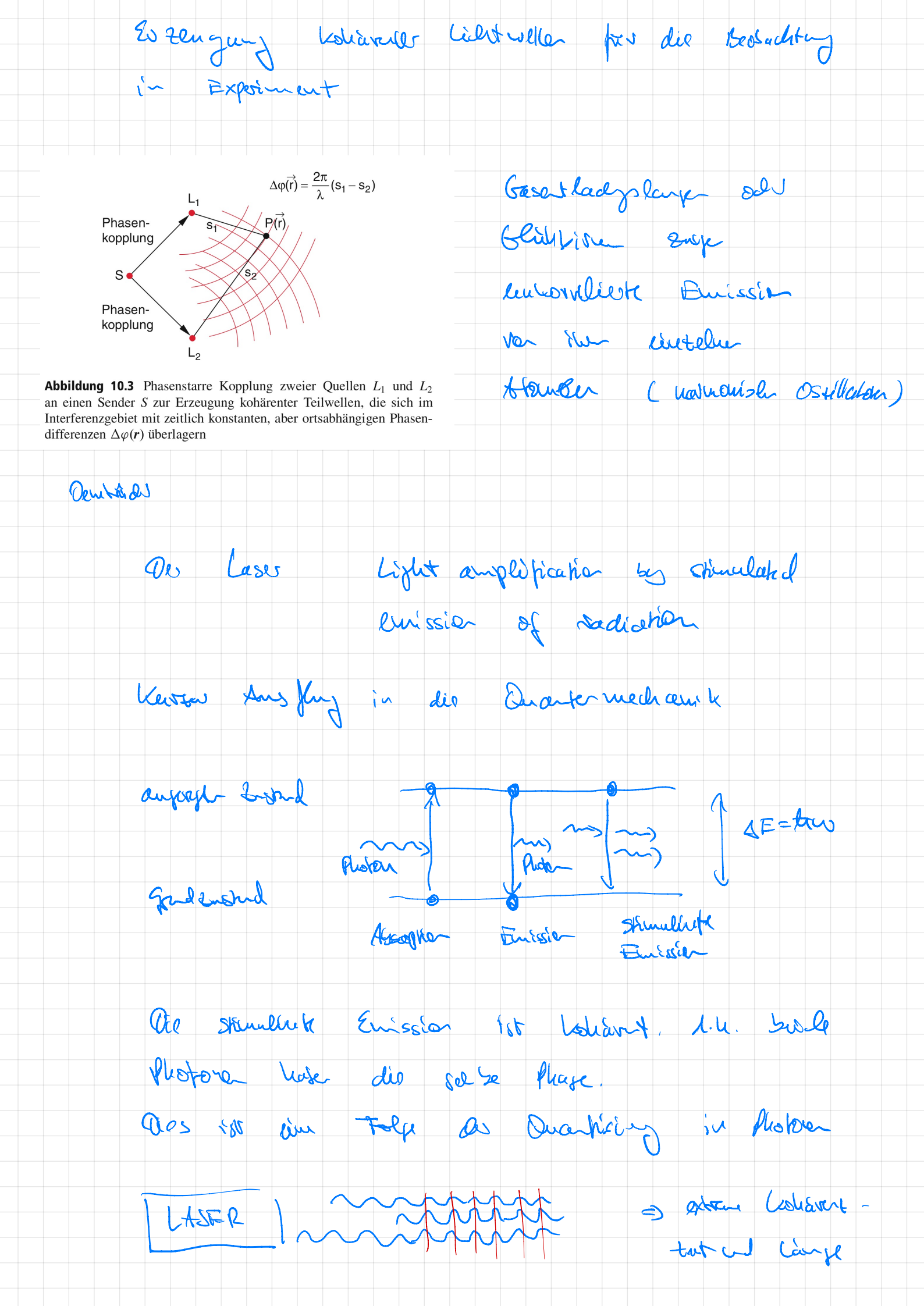
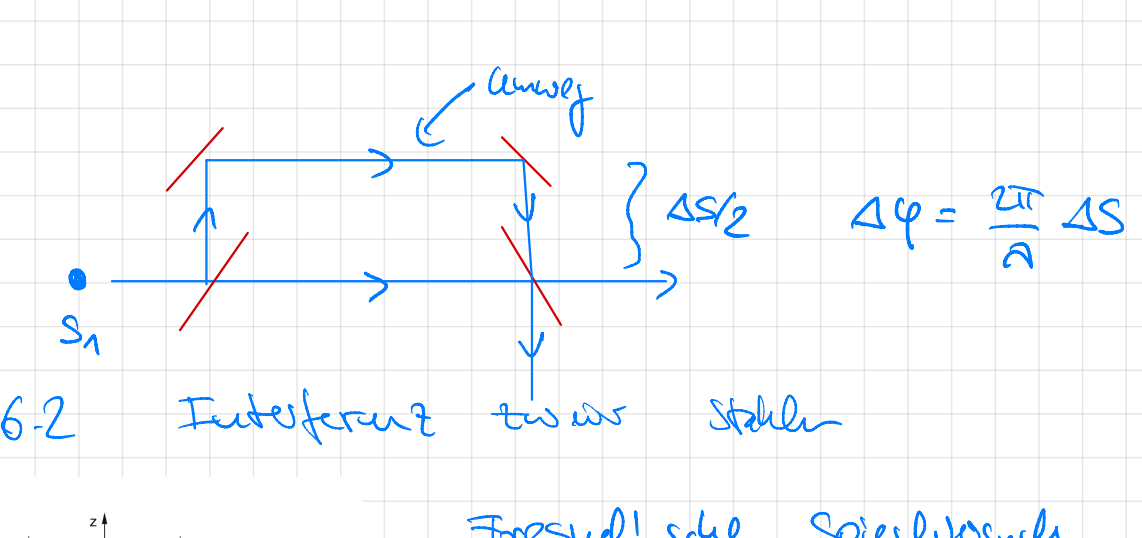
6. Interferenz und Boergung 6.1 Koha sen z SE(N.t) = 1 8E(N.t) Die Welle glosez ist ine linear Differentiel glosez = Expeller Fr (Not) and Fr (Not) die voll- gwel, so spålle and E (7:41 = a E/17:4) +0 E(0:4) die welle glosez (for belüsig a - 16) Sin Weller fold E(s,t) an wine Seliesige Pret ? an but t Dann also cens a résulage Melvo Tul welle E. (J, E) resultion Superpositions princip Diese Theology & Tailwelle nemer us Juto france = (0, t) = = = Am (3, t) e'en Pm (t) Gun (N) Mess gospe tot oft die July sitat I 13,4) ~ 1=(3,4)[2 Stationaire Interpretation I(1) Six es mur, Tel weller , Koliasus " sind. fells die

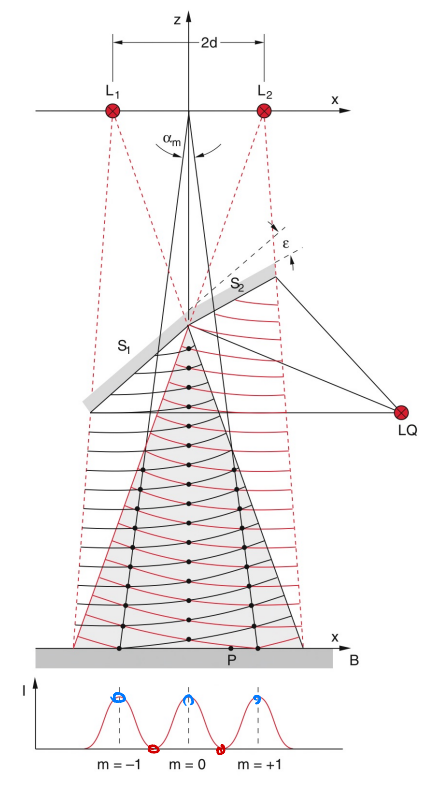
Eine voumliche Begant im Weller jald (2-h. sine Blende) bullstaart sen Tiel de Endoforter la Weller (unvalständig Interprets) > Bengung phanomene Wir Geradite Low Tillade FIFE · Ej ud Ex heipe Zeitlich Kohavert, warn. the Phase differenz sep = qj - Pu in in Raum pulet is sich währed de besechty sout st um verge as et änden · Oil maximale lost spanne st wowned in Sus a Weller an Aut is boliant sind, mennt man de Koköveztet. Ussah has Please defent sop? Flather apone do Freguet viver sos bus Tul welle (bzie de welle lang 2) Thehoration as phase wer ook bishel Testweller



Seda	lifet worden.		
Fasc	it ladur plange	₩ = 2.103 HZ	
		Atc = 1 = 5	5.10-10 s = 500ps
		lc = c · stc	= 0.15 m
Cli	uabine .	le veny p	un
100	KU .	le sine 1	
U.	K)		
06	en will Z=	Z & ((KN-W+)	
		10=0 => ec=	= 00
	Cesante Wille 1st	kolävert	
		8 (1 K 31 - 42 €)	
V	Cazel welle E=	1 (K131-WE)	
	Seate while 147	Koliarcit	lc = D







 $\textbf{Abbildung 10.5} \quad \text{Fresnel'scher Spiegelversuch}$

Oentrol

Fresud! Sche Spieglvosich

bald Schler Spieglvosich

ignivalit mi sww Wester

(vistrell) mi vosate ed,

lie das in while lint

besde vistrell sill de seller

cirlo quelle La Lind, d.n.

"Cyndosnisut" Sind.

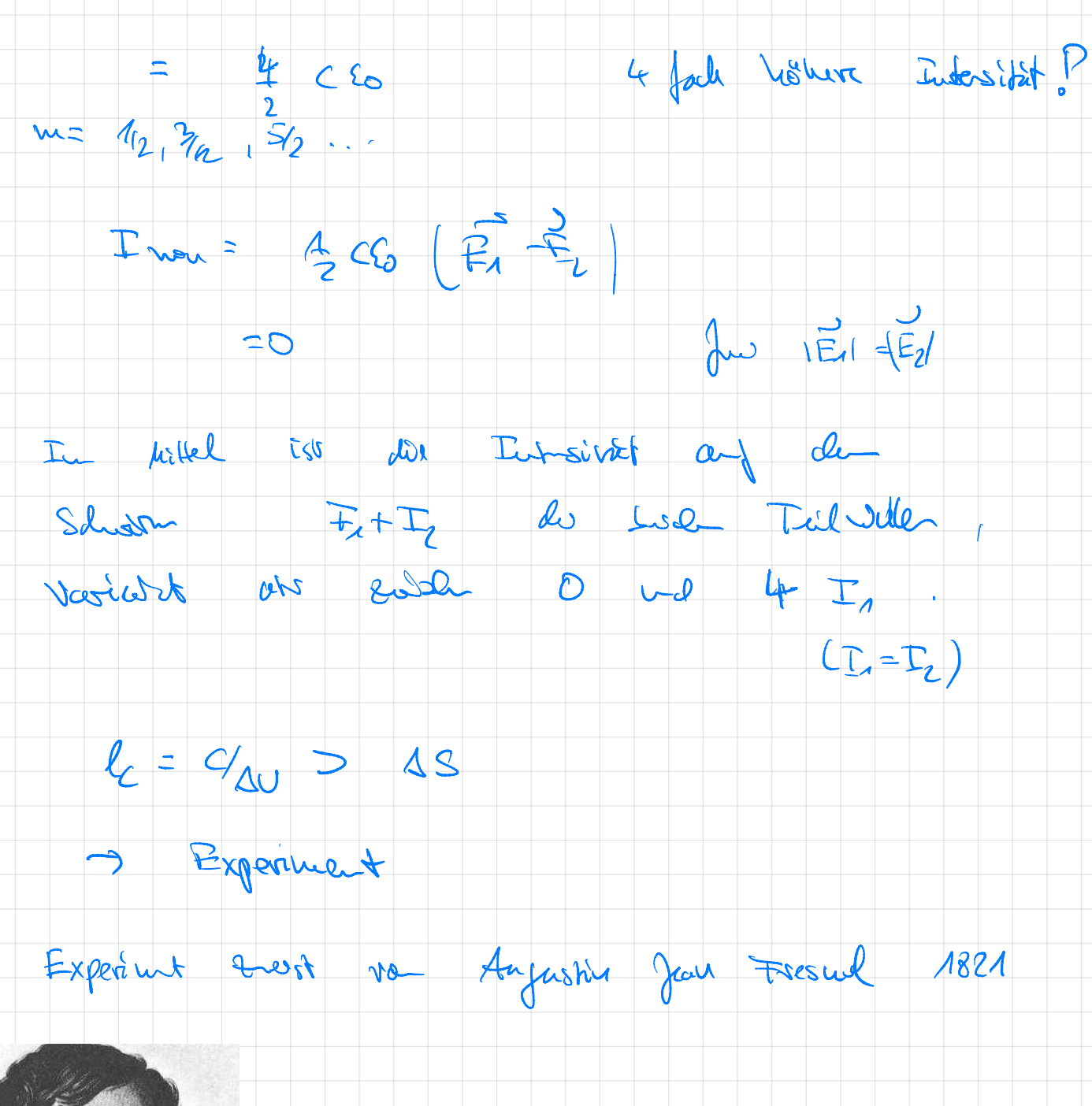
Wiglänge LQ - S, -P 52w. LQ - S2 - P lutsparen den Wiger L, P 52w. L2 P.

1S = \((x+d)^2 +5^2 + 25 - \((x-d)^2 +23 + 15

Premier met bostenson AS linger auf HyperSoln

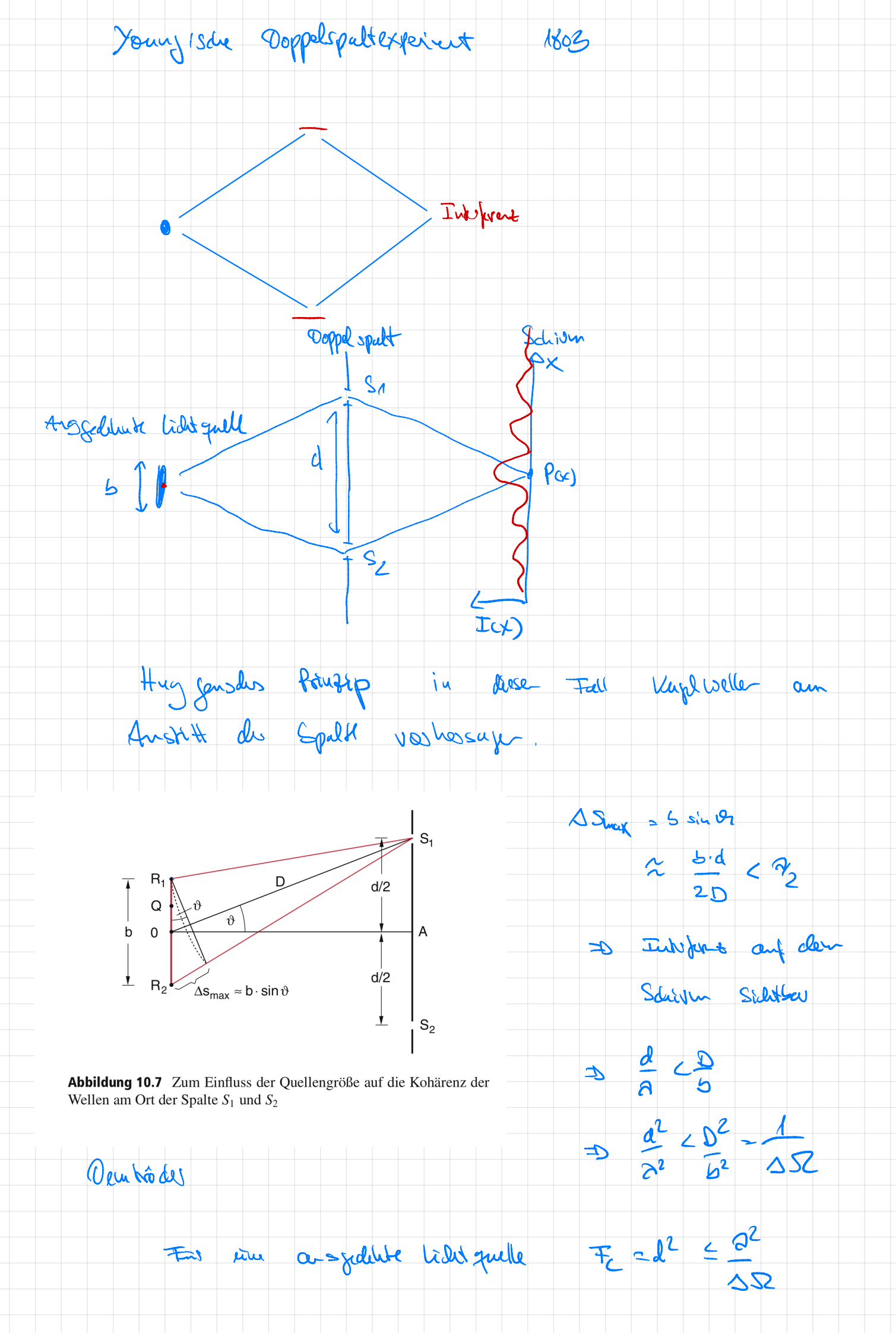
 $\Delta S = W.7 \qquad M = 0, 1, 2... \qquad (\Delta S < P_c)$

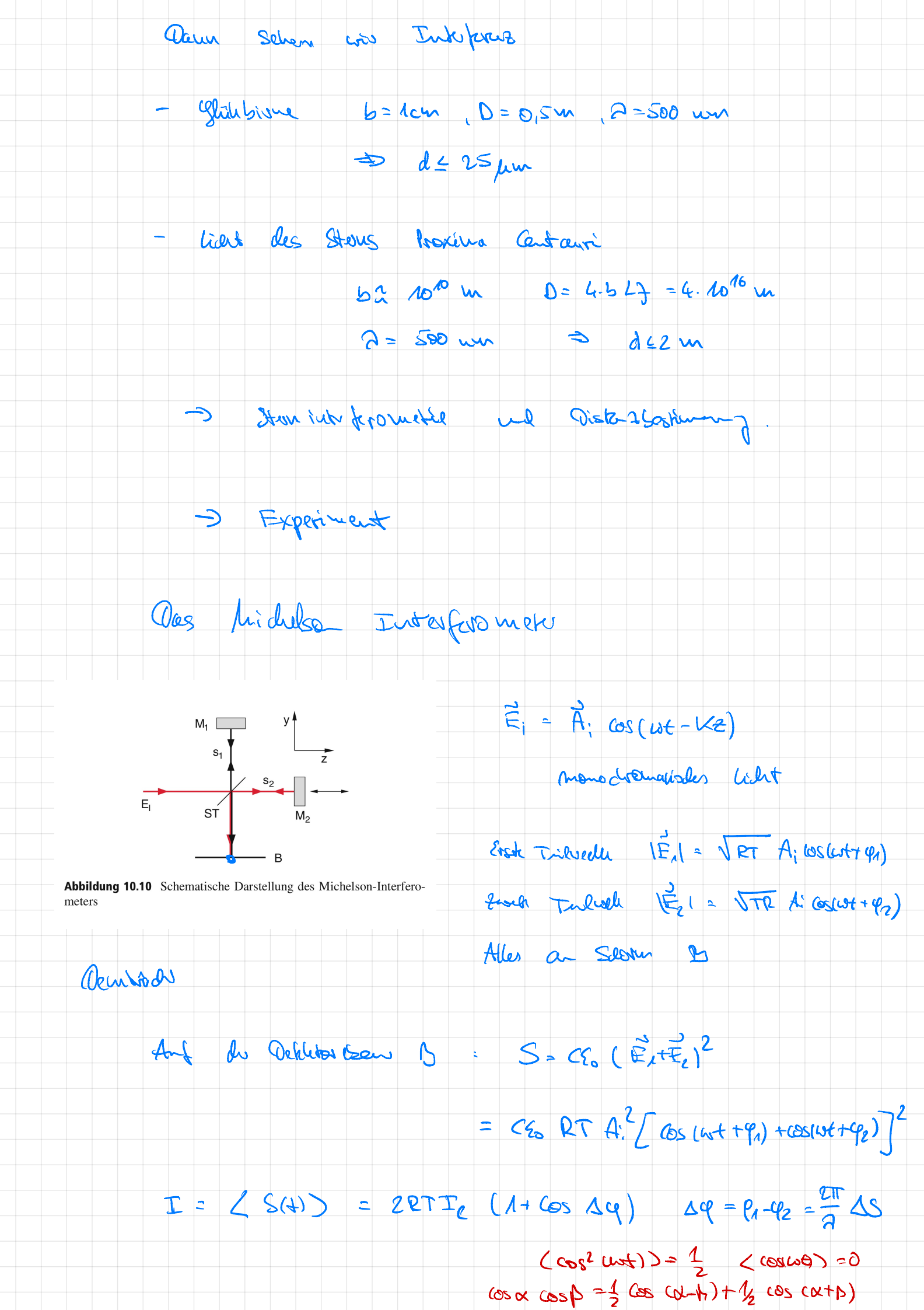
Imax = 1 080 (E1+E2) = E1=E2

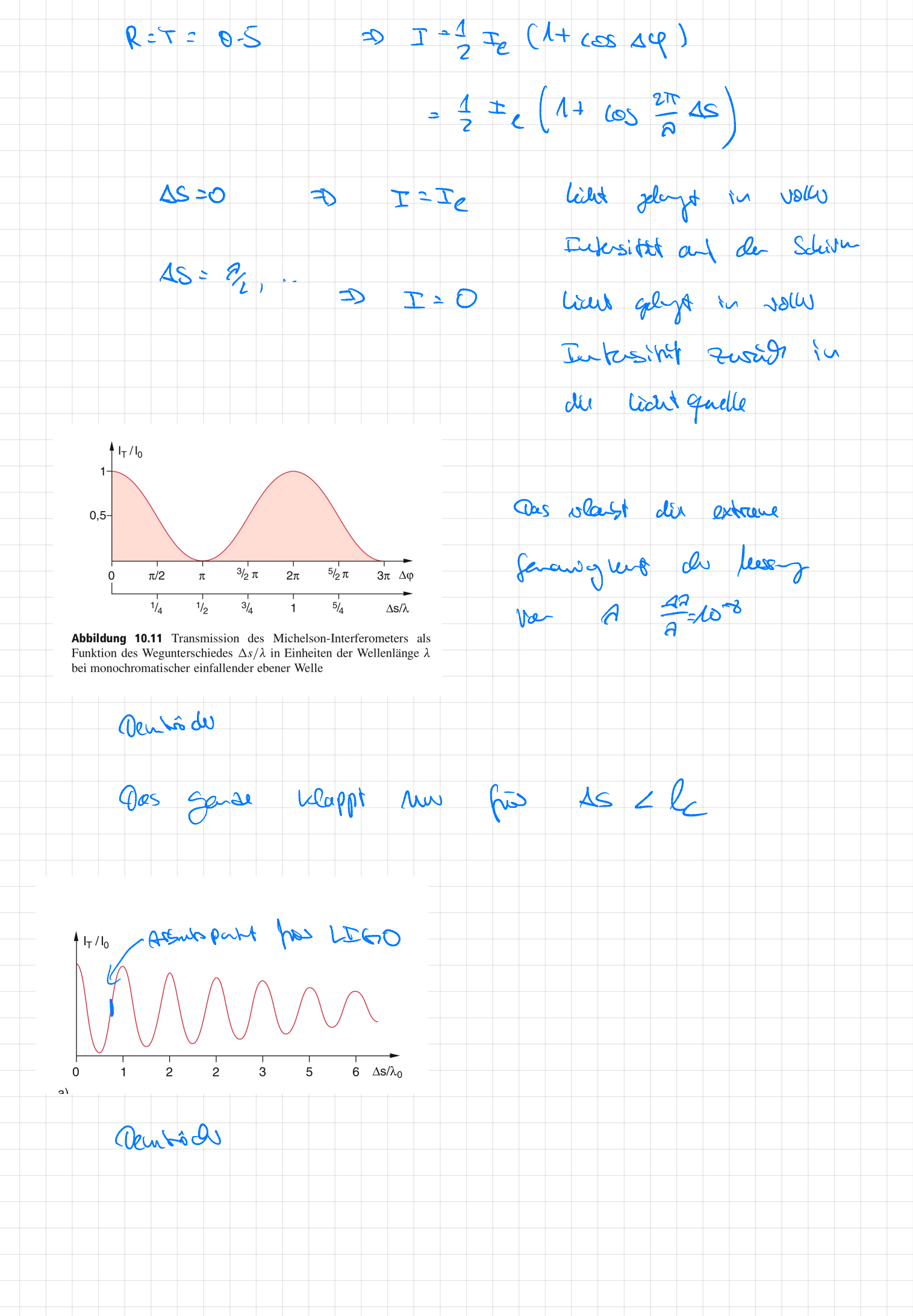




17-28-1827







graviphors voller



will

12m

Votelpres 2017

Wiss, Booksh, Thome

CIGO Expordut

2x Glan Arm in Valsam Will mult junds 280 Wege him and hes

benongling as Andry des lànge se - 10-21

And gesente way des with express des 100 CW LASER

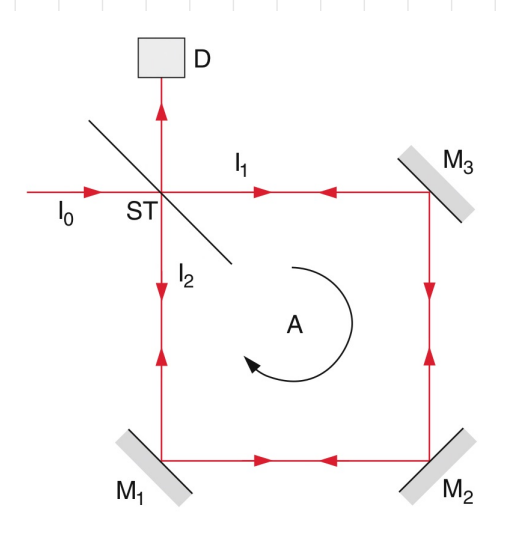


Abbildung 10.18 Sagnac-Interferometer

Dewlindo

Saprac Inprometer Wigland Swel Toolweller in pod I kontonlitte Interpret in Dephtos wind das inhiprocuetr gradul, so weigh side in 45 \$0 a w

Fisi Soul Interpret 2 eur plansfavalle platte

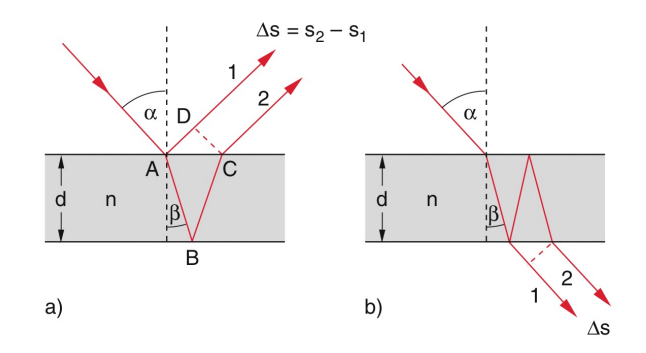


Abbildung 10.8 Zur Berechnung des Gangunterschiedes bei der Interferenz an einer planparallelen durchsichtigen Platte a im reflektierten Licht; b im transmittierten Licht

Oen lâd

DQ = 211 AS - TI
Reflexion

Farte dinne Schicht

6.3 Viel start intoprenz

wir lowerd is not t woll in Kapiel on Gonz Minde wis yourse de tot unlay invaianz

And die Sibraho de videsses lange State expoller du blaxvell glosdige més de selser Voltitioner and t.

ar but Sibrationer sind with autobacken bookship des hillighent des glierze

tim 100) Eo + 11/6/ ton Fo =0 =>

Eo = 160) 160) Fo + t (p) t(a) Eo

orit Represend Tournisions lott itime de F- Vultor

his der Eintitt / Réflixion in 1 au dem

ophal didtie hidin

1', t' analog pos de troit i referio

an option time hedium

+ (a) t' (b) = 1 - 12 (a) Stokes Pelationer (4) =- 1(x)

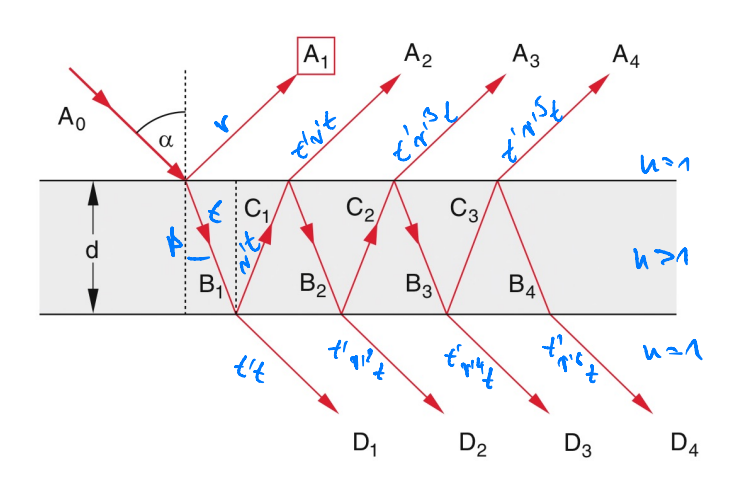
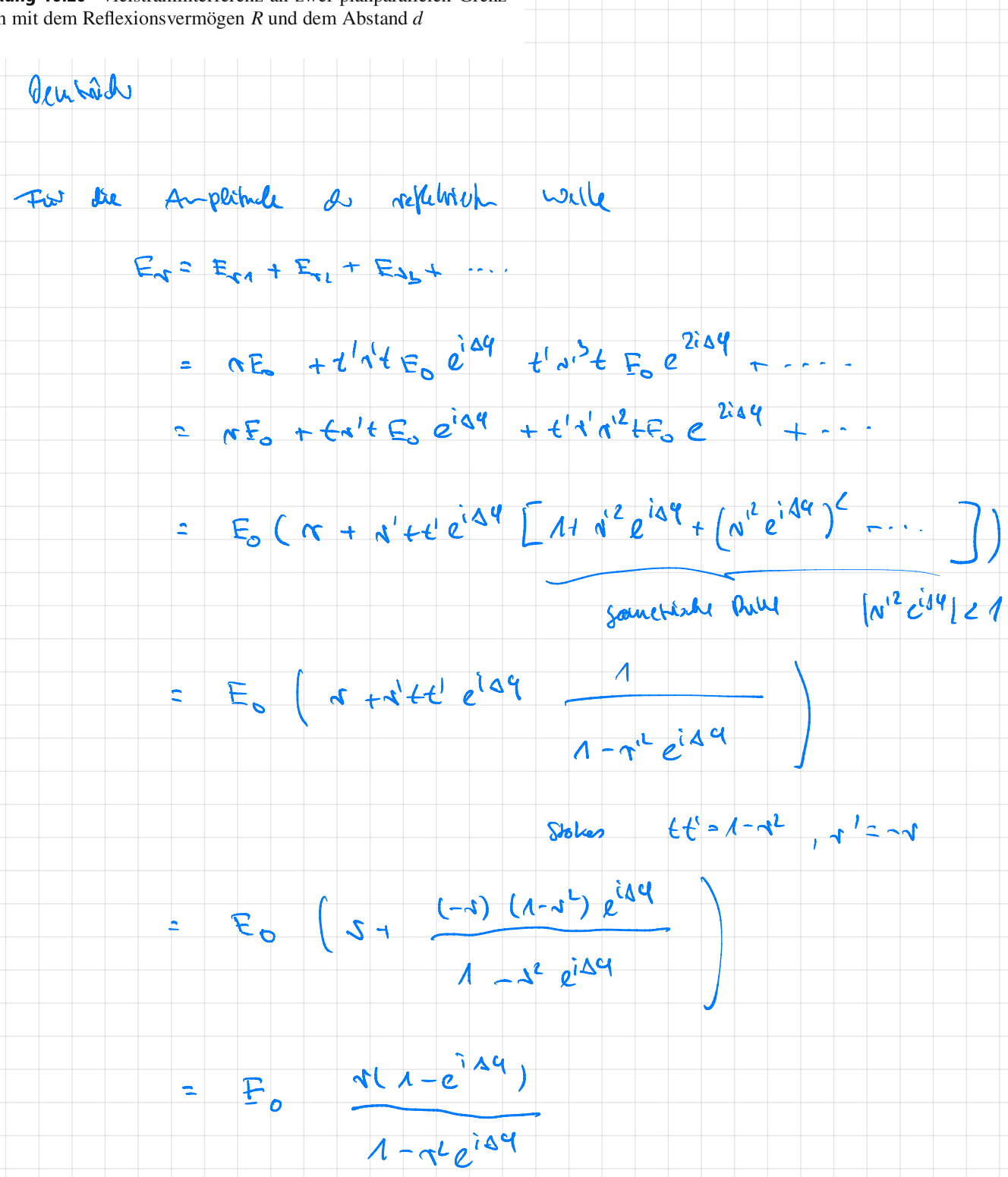
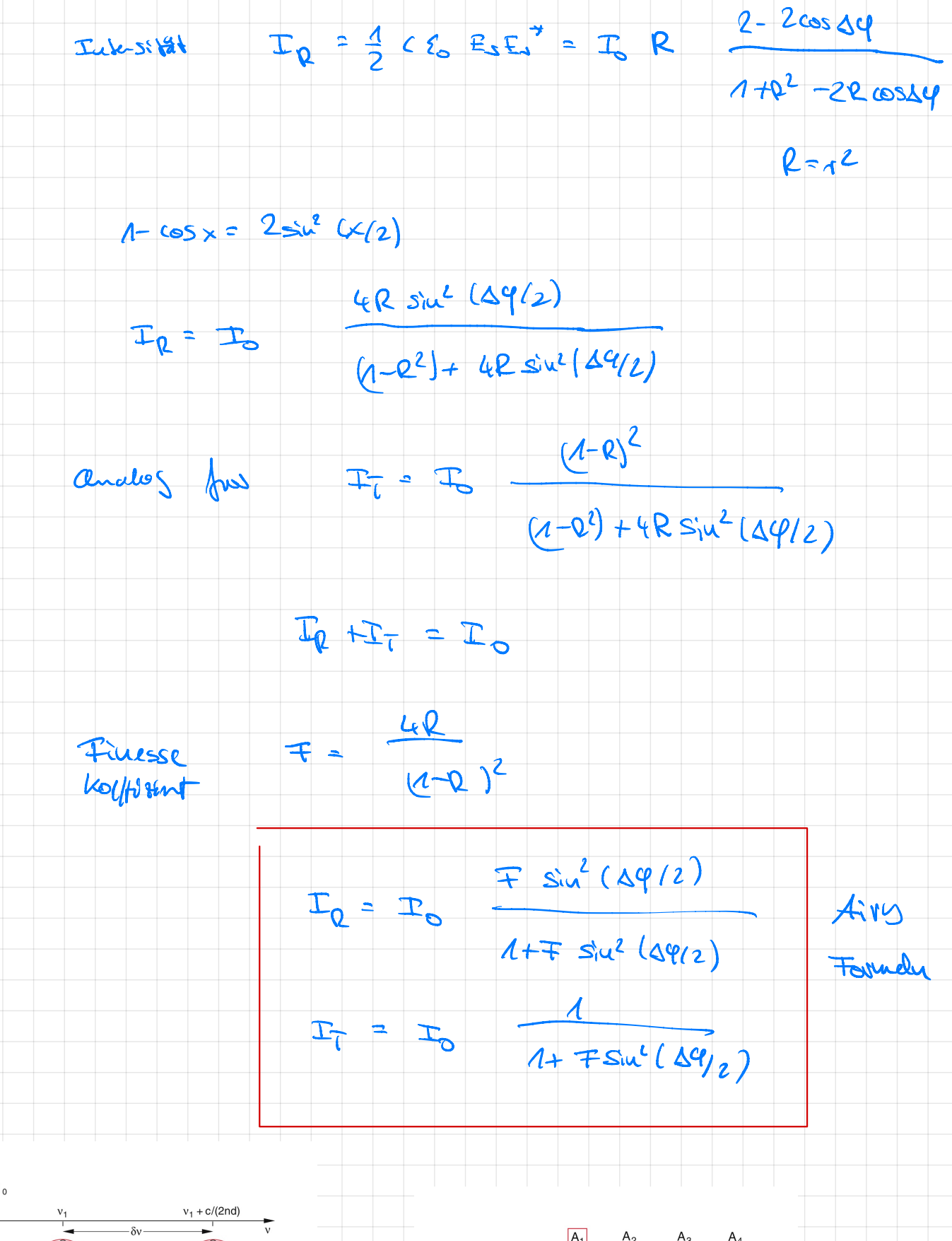


Abbildung 10.20 Vielstrahlinterferenz an zwei planparallelen Grenzflächen mit dem Reflexionsvermögen R und dem Abstand d





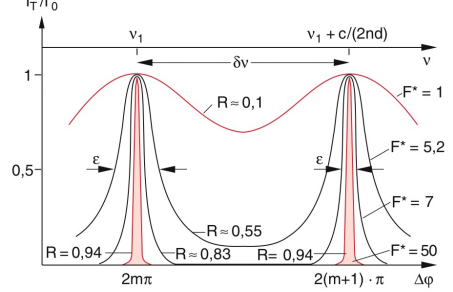
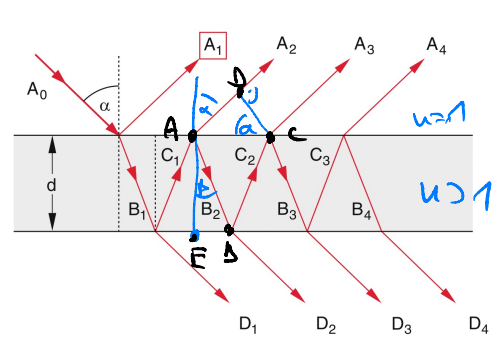
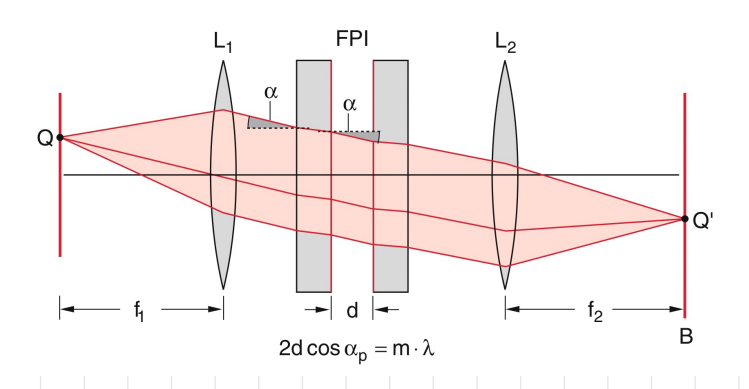


Abbildung 10.22 Transmission $T=I_{\rm T}/I_0$ einer planparallelen Platte bei senkrechtem Lichteinfall als Funktion der Phasendifferenz $\Delta \varphi$ für verschiedene Werte des Reflexionsvermögens R. Zur Definition der Finesse F^* siehe (10.30)



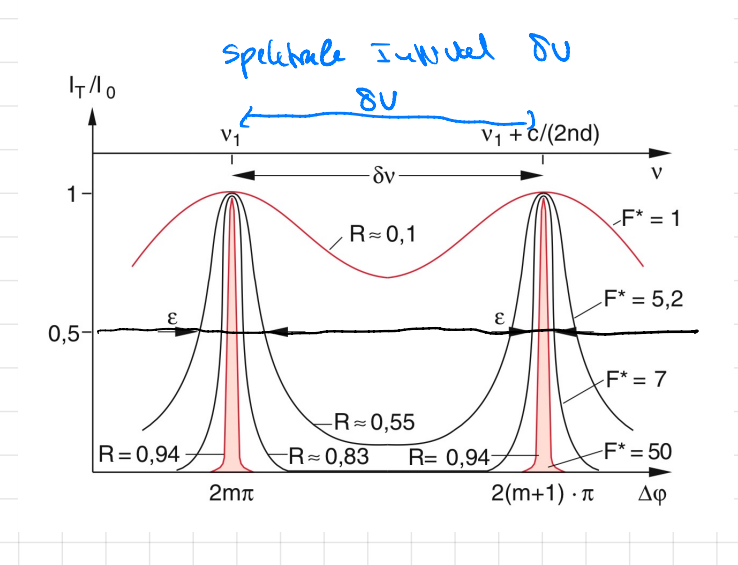
und Streuung



Oen Não

Natrium dowpfle-pe Doppelliuie 588,99 um 589,59 um

12 = 0.6 nm



In ist marked for
$$u = 1/2 3...$$

$$2 = \Delta S/m = \frac{2d}{m} \sqrt{u^2 - \sin^2 \alpha}$$

holle Hallwortsuch &

Denhad

Ans de Aisy Formel for jeniged copes F:

R 80 (R > 1) => E wind cein Wird

be sentraliten Simpal new Towns mission

for am = 2ul/m obate not slavale

bente

$$\left| \frac{\Delta \lambda}{a} \right| = \left| \frac{\Delta U}{V} \right| = \frac{2}{2\pi} \cdot \Delta V$$

平 = 工住

₽

Or Halls week Is with DU der Transmission even FPI

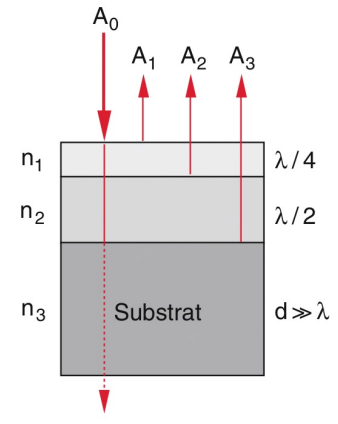
1st gycken duch

±*

Beispiel

 $R = 0.98 \Rightarrow F^* \approx 155$, d. h. für R = 0.98 interferieren etwa 155 Teilwellen miteinander. Bei einer optischen Dicke $n \cdot d = 3 \text{ cm} \Rightarrow \delta \nu = c/(2nd) = 5 \cdot 10^9 \text{ s}^{-1} \Rightarrow \Delta \nu = \delta \nu / F^* = 3.2 \cdot 10^7 \text{ s}^{-1} = 32 \text{ MHz}$





Rest-Transmission

Abbildung 10.28 Überlagerung der reflektierten Amplituden bei einem dielektrischen Zweischichtenspiegel mit $n_1 > n_2 > n_3$



2

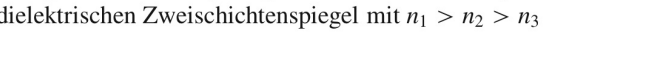
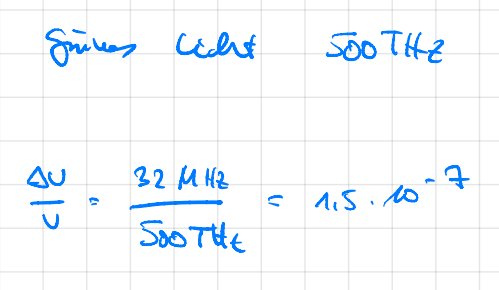
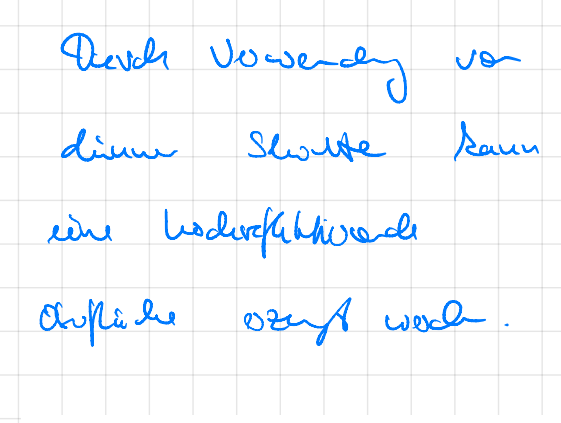




Abbildung 10.31 Restreflexion bei einer einfachen Antireflexschicht (*Kurve 1*) im Vergleich mit unbeschichtetem Glas mit $n_2 = 1,5$. Die Kurve 2 wird durch einen Zweischichten-Breitband-Antireflexbelag er-

400 700 reicht, Kurve 3 durch einen Dreischichtenbelag





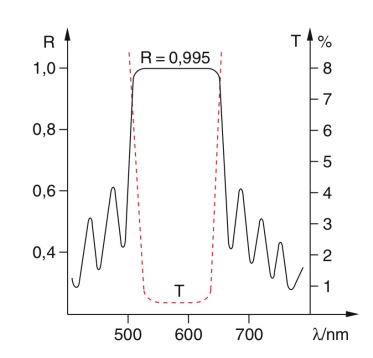


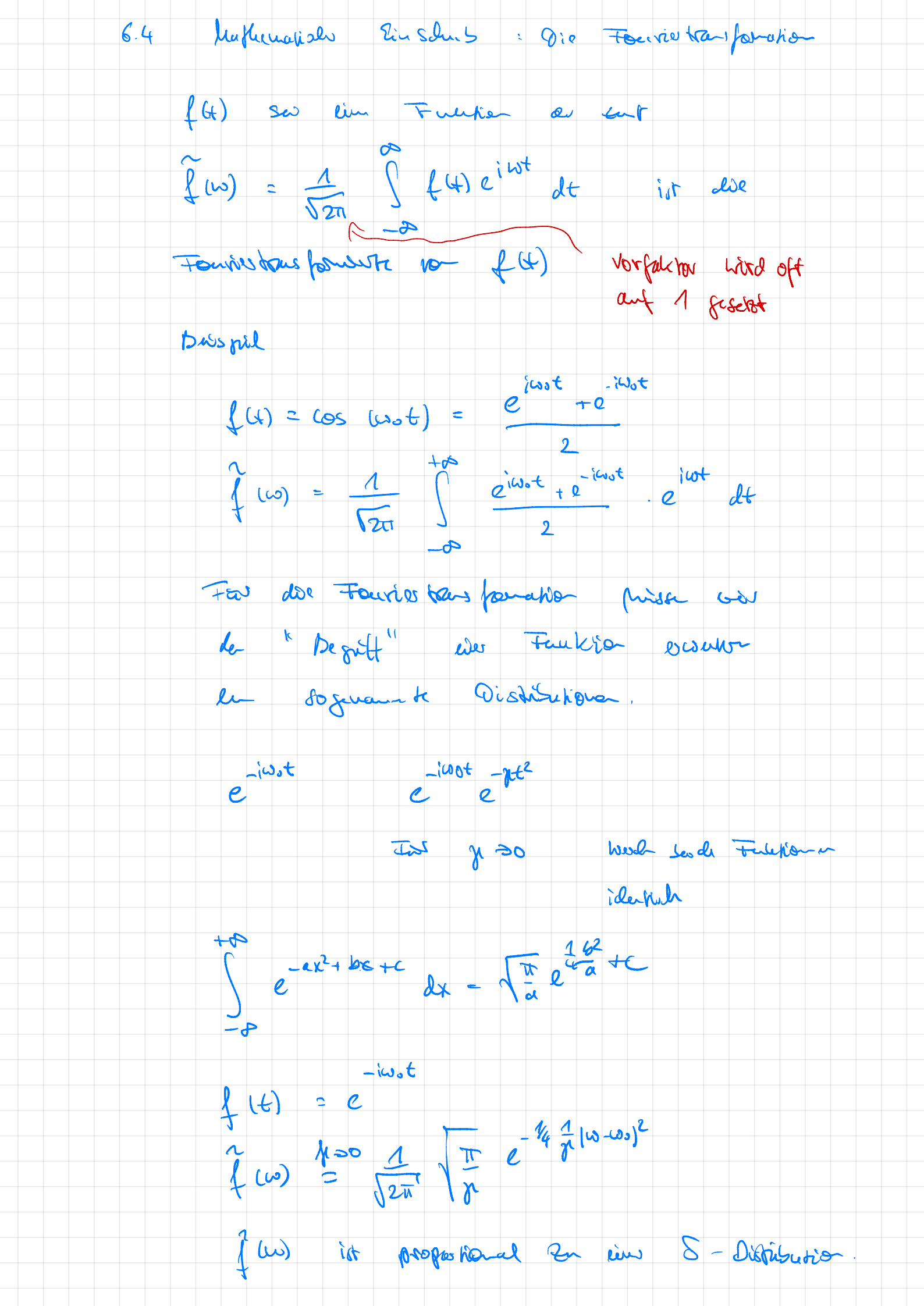
Abbildung 10.29 Reflexionsvermögen $R(\lambda)$ eines dielektrischen

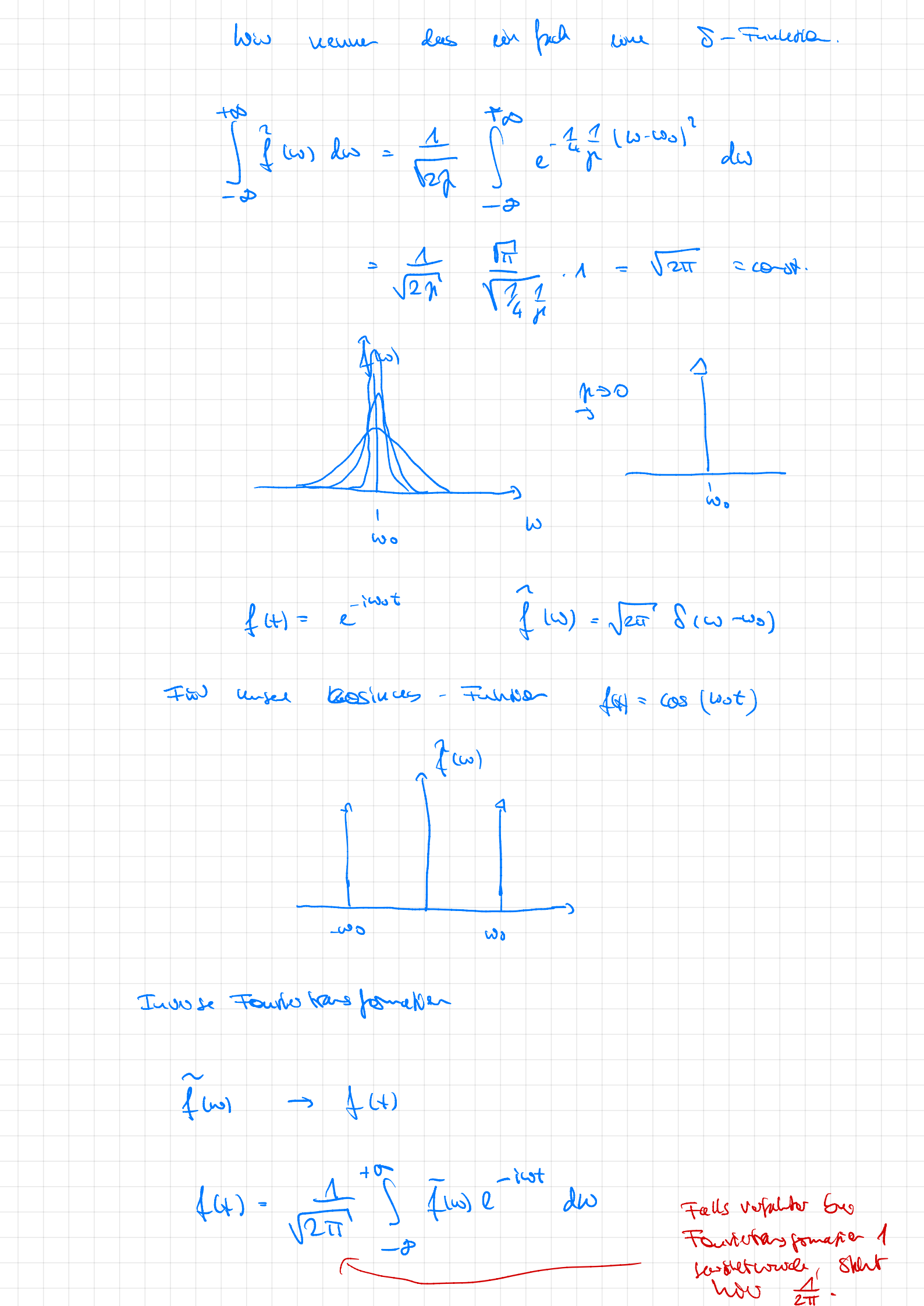
Artireprions de les

Cential

Water Anwerdy

Sdundandin Foodsfilk





$$f(4) = \frac{1}{\sqrt{2\pi}} \int_{-\infty}^{\infty} \frac{1}{\sqrt{2\pi}} \left(\int_{-\infty}^{\infty} f(4) e^{i\omega t} dt' \right) e^{-i\omega t} d\omega$$

$$= \frac{1}{2\pi} \int_{-\infty}^{\infty} \int_{-\infty}^{\infty} f(4) e^{i\omega t} e^{-i\omega t} dt' d\omega$$

$$= \frac{1}{2\pi} \int_{-\infty}^{\infty} \int_{-\infty}^{\infty} f(4) e^{i\omega t} e^{-i\omega t} dt' d\omega$$

$$= \frac{1}{2\pi} \int_{-\infty}^{\infty} \int_{-\infty}^{\infty} f(4) e^{i\omega t} e^{-i\omega t} dt' d\omega$$

$$= \frac{1}{2\pi} \int_{-\infty}^{\infty} \int_{-\infty}^{\infty} f(4) e^{i\omega t} e^{-i\omega t} dt' d\omega$$

$$= \frac{1}{2\pi} \int_{-\infty}^{\infty} \int_{-\infty}^{\infty} f(4) e^{i\omega t} e^{-i\omega t} dt' d\omega$$

$$= \frac{1}{2\pi} \int_{-\infty}^{\infty} \int_{-\infty}^{\infty} f(4) e^{i\omega t} e^{-i\omega t} dt' d\omega$$

$$= \frac{1}{2\pi} \int_{-\infty}^{\infty} \int_{-\infty}^{\infty} f(4) e^{i\omega t} e^{-i\omega t} dt' d\omega$$

$$= \frac{1}{2\pi} \int_{-\infty}^{\infty} \int_{-\infty}^{\infty} f(4) e^{i\omega t} e^{-i\omega t} dt' d\omega$$

$$= \frac{1}{2\pi} \int_{-\infty}^{\infty} \int_{-\infty}^{\infty} f(4) e^{i\omega t} e^{-i\omega t} dt' d\omega$$

$$= \frac{1}{2\pi} \int_{-\infty}^{\infty} \int_{-\infty}^{\infty} f(4) e^{i\omega t} e^{-i\omega t} dt' d\omega$$

$$= \frac{1}{2\pi} \int_{-\infty}^{\infty} \int_{-\infty}^{\infty} f(4) e^{i\omega t} e^{-i\omega t} dt' d\omega$$

$$= \frac{1}{2\pi} \int_{-\infty}^{\infty} \int_{-\infty}^{\infty} f(4) e^{i\omega t} e^{-i\omega t} dt' d\omega$$

$$= \frac{1}{2\pi} \int_{-\infty}^{\infty} \int_{-\infty}^{\infty} f(4) e^{i\omega t} e^{-i\omega t} dt' d\omega$$

$$= \frac{1}{2\pi} \int_{-\infty}^{\infty} \int_{-\infty}^{\infty} f(4) e^{i\omega t} e^{-i\omega t} dt' d\omega$$

$$= \frac{1}{2\pi} \int_{-\infty}^{\infty} \int_{-\infty}^{\infty} f(4) e^{i\omega t} e^{-i\omega t} dt' d\omega$$

$$= \frac{1}{2\pi} \int_{-\infty}^{\infty} \int_{-\infty}^{\infty} f(4) e^{i\omega t} e^{-i\omega t} dt' d\omega$$

$$= \frac{1}{2\pi} \int_{-\infty}^{\infty} \int_{-\infty}^{\infty} f(4) e^{i\omega t} e^{-i\omega t} dt' d\omega$$

$$= \frac{1}{2\pi} \int_{-\infty}^{\infty} \int_{-\infty}^{\infty} f(4) e^{i\omega t} e^{-i\omega t} dt' d\omega$$

$$= \frac{1}{2\pi} \int_{-\infty}^{\infty} \int_{-\infty}^{\infty} f(4) e^{i\omega t} e^{-i\omega t} dt' d\omega$$

$$= \frac{1}{2\pi} \int_{-\infty}^{\infty} \int_{-\infty}^{\infty} f(4) e^{i\omega t} e^{-i\omega t} dt' d\omega$$

$$= \frac{1}{2\pi} \int_{-\infty}^{\infty} \int_{-\infty}^{\infty} f(4) e^{-i\omega t} dt' d\omega$$

$$= \frac{1}{2\pi} \int_{-\infty}^{\infty} \int_{-\infty}^{\infty} f(4) e^{-i\omega t} dt' d\omega$$

$$= \frac{1}{2\pi} \int_{-\infty}^{\infty} \int_{-\infty}^{\infty} f(4) e^{-i\omega t} dt' d\omega$$

$$= \frac{1}{2\pi} \int_{-\infty}^{\infty} \int_{-\infty}^{\infty} f(4) e^{-i\omega t} dt' d\omega$$

$$= \frac{1}{2\pi} \int_{-\infty}^{\infty} \int_{-\infty}^{\infty} f(4) e^{-i\omega t} dt' d\omega$$

$$= \frac{1}{2\pi} \int_{-\infty}^{\infty} \int_{-\infty}^{\infty} f(4) e^{-i\omega t} dt' d\omega$$

$$= \frac{1}{2\pi} \int_{-\infty}^{\infty} \int_{-\infty}^{\infty} f(4) e^{-i\omega t} dt' d\omega$$

$$= \frac{1}{2\pi} \int_{-\infty}^{\infty} \int_{-\infty}^{\infty} f(4) e^{-i\omega t} dt' d\omega$$

$$= \frac{1}{2\pi} \int_{-\infty}^{\infty} \int_{-\infty}^{\infty} f(4) e^{-i\omega t} dt' d\omega$$

$$= \frac{1}{2\pi} \int_{-\infty}^{\infty} \int_{-\infty}^{\infty} f(4) e^{-i\omega t} dt' d\omega$$

$$= \frac{1}{2\pi} \int_{-\infty}^{\infty} \int_{-\infty}^{\infty} f(4) e^{-i\omega t} dt' d\omega$$

$$= \frac{1$$

Oas Huzenahe Prinzip

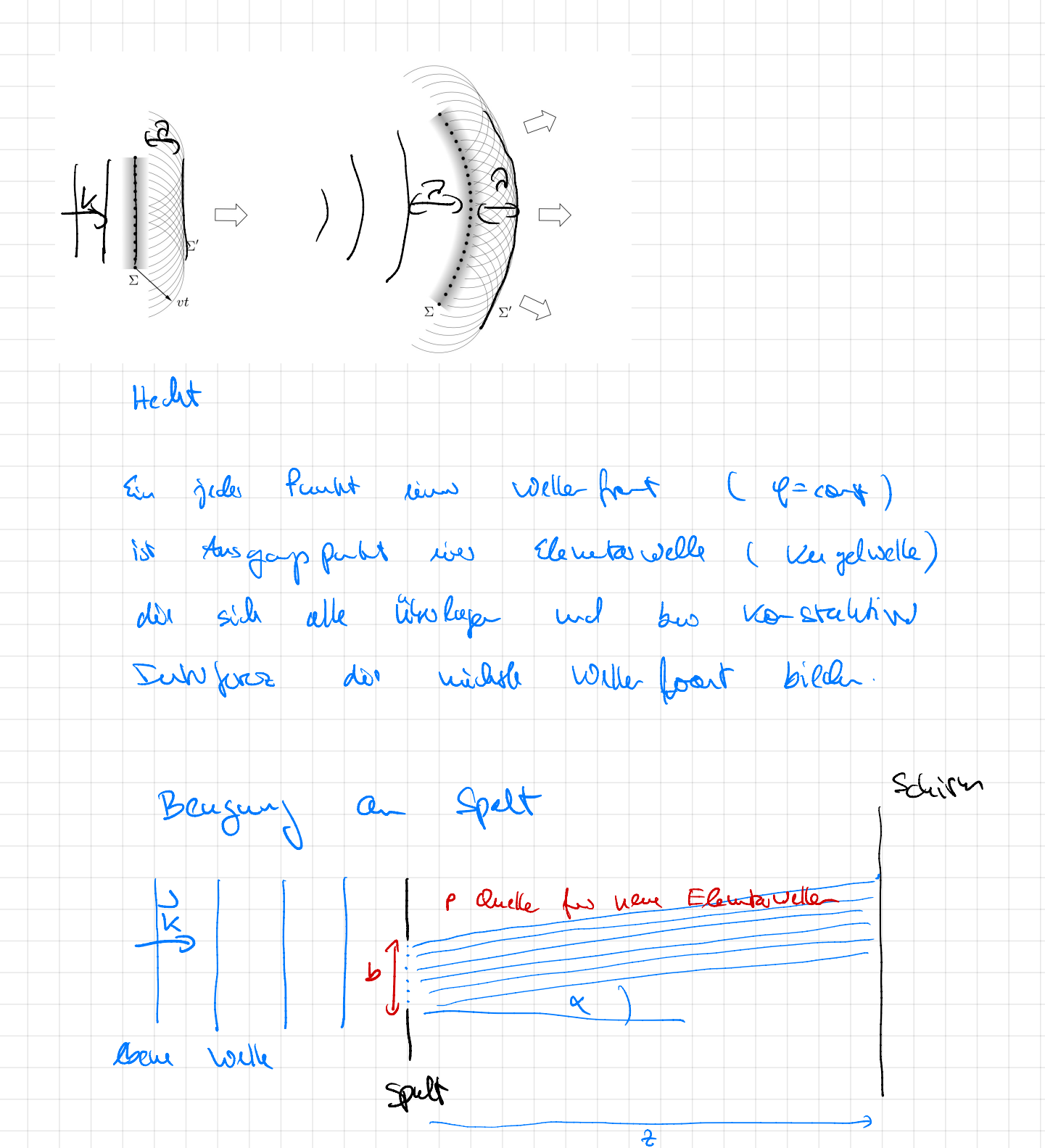
Felto fill t beg, falls
Vorfalter in Formin.
transformation on
1 femalt.

Wenn wir die Ausbreitung dieser Wellen untersuchen, müssen wir noch berücksichtigen, dass jedes Teilchen der Materie, in der sich die Welle fortpflanzt, seine Bewegung nicht nur dem nächsten Nachbarn in Ausbreitungsrichtung des Strahls mitteilt, sondern auch allen anderen Nachbarn, die es berührt und die seiner Bewegung Widerstand leisten. So entsteht um jedes Teilchen eine Welle, deren Mittelpunkt das betreffende Teilchen ist. (Christiaan Huygens, 1690, *Traité de la Lumière* [Abhandlung über das Licht])

Helit



Christican Huygens 1629 - 1835



Will gulle and Slever look of Asstud vo Spalt. De vous welle treff any der Spelt An Solven esselve die Willer (fast) Den. Wis betalle det Bengun in Fost feld als Fallon so of. Frankofetsagung $\Delta S = \frac{b}{p} s u \alpha$ by 1 Cas 14 = 21 15 = 21 5 sina Phase differer Senach such Elementa Wille E(d) = Eeiwe (e0 + eine + e2isq + e3isq + ... eicp-11sq) $E(\alpha) = 2 \times 2 \times \left(\frac{p - 4\ell}{2}\right)$ = 2 E; six (p.44) sya F E(a) = Eo

TIS Sin a PE = Eo $T(\alpha) = T_0 = \frac{\sin^6 x}{x^2}$ X = The sind (Siuc x)2

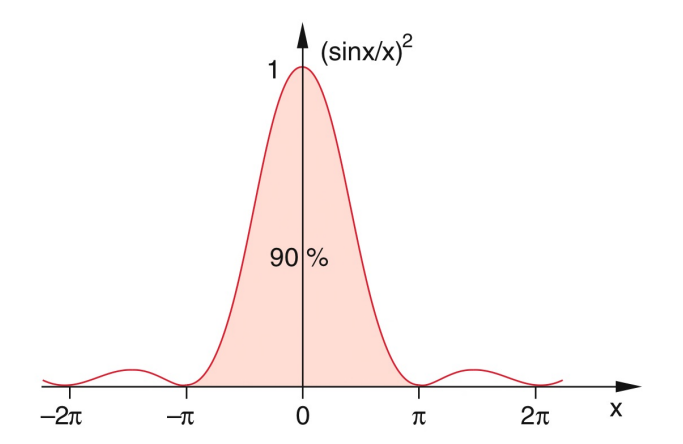
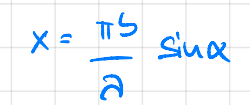
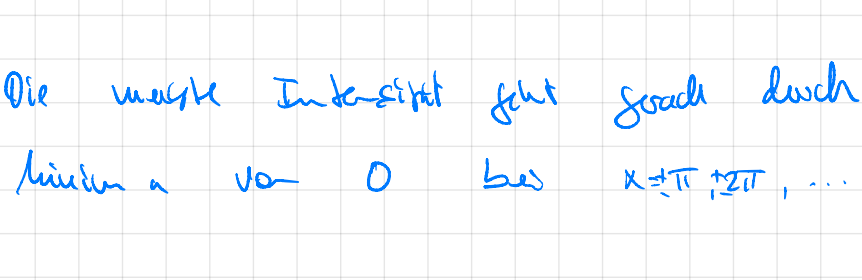


Abbildung 10.36 Die Funktion $(\sin x/x)^2$

Oendo de







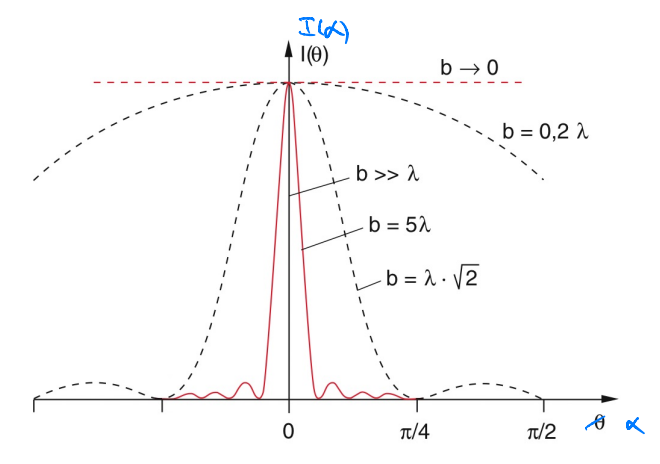
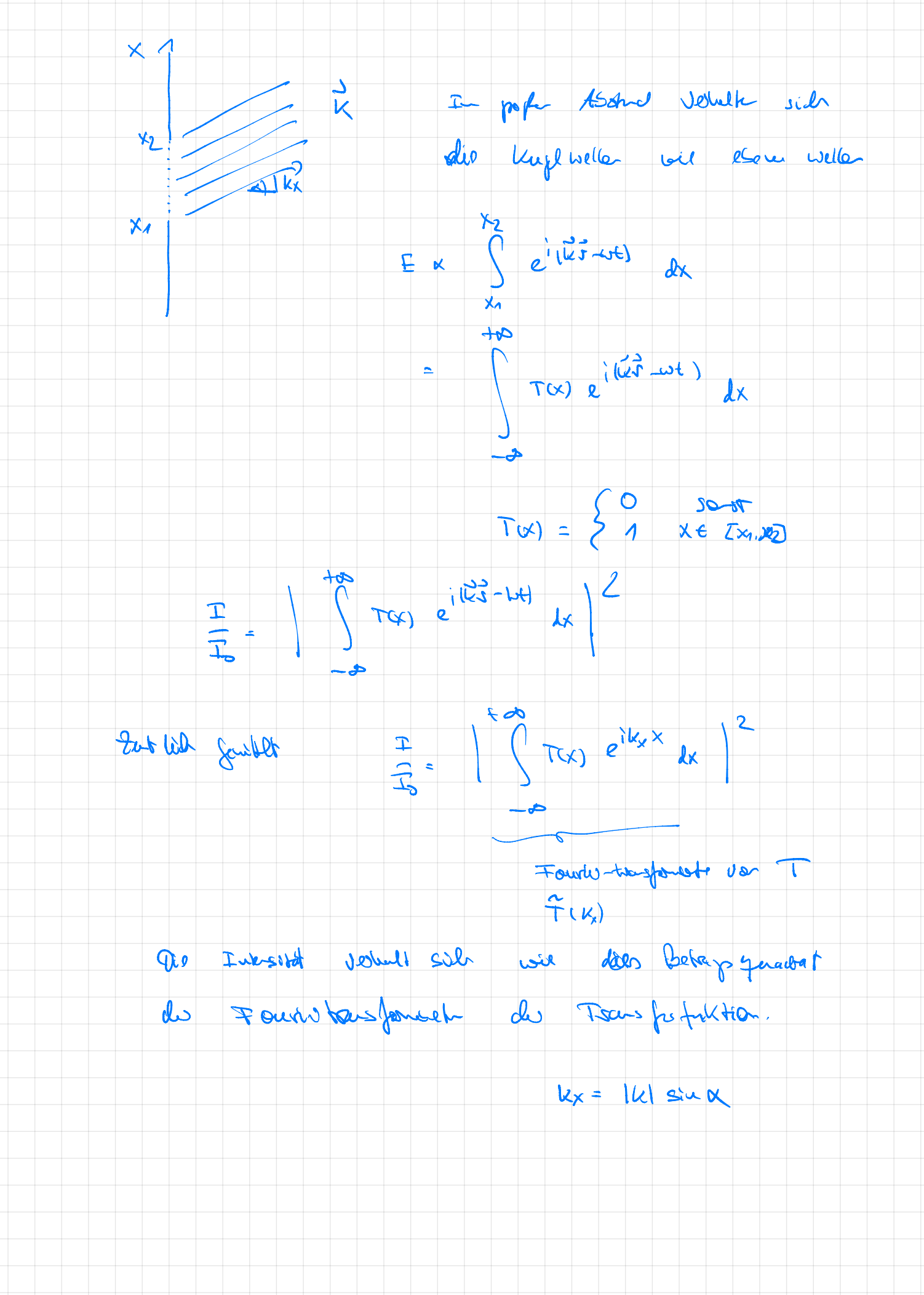


Abbildung 10.39 Intensitätsverteilung $I(\theta)$ bei der Beugung am Spalt für verschiedene Werte des Verhältnisses b/λ von Spaltbreite b zu Wellenlänge λ

Per to des

Two bonts spalte in Voyland in while large shot hil beer go asympthe in the Geometricke Oppole who.



Fraundofes augunz Lidel quelle und Sowen sond so-vont entfont vo Spalt. > eseme Wellen Einfach Spalt rub Brook 5 $T(\alpha) = T_0 \left(\frac{\sin x}{x}\right)^2 \qquad X = \frac{\pi b}{3} \sin \alpha$ = e ((ux-un) = E $E = \begin{pmatrix} E_0 & \sin \left(\log - \log \right) \\ 0 & 0 \end{pmatrix}$ $T = \frac{1}{2} E_0^2$ $\vec{E} = \begin{pmatrix} E_0 \\ 0 \end{pmatrix} \quad (1 \text{ (ux-w6)})$ I - 1 1 1 1 2 = 4 \E(+) |2 Vouglex Die gewählt Schoubense d.a. Inhisitä mount ang Es, diens de vereingsachen Schrießersong.

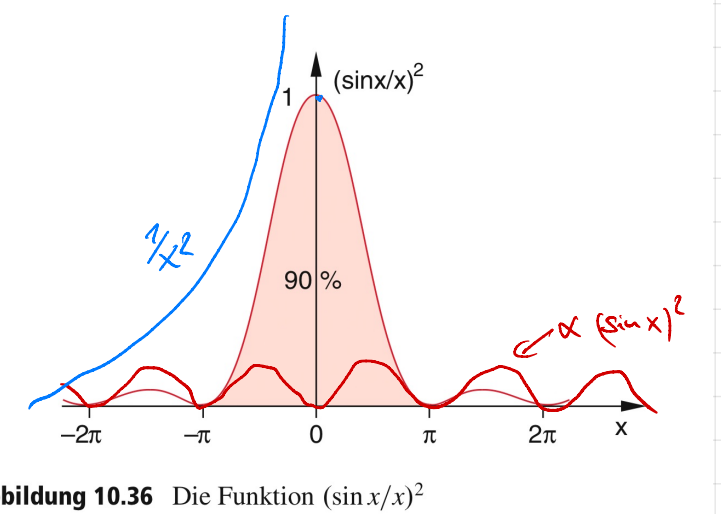


Abbildung 10.36 Die Funktion $(\sin x/x)^2$

χ÷	o	;	9	evalec	w	
			U			

Position de Maxima Sind will analytich tostimule.

Liefe des de un gifet to
$$x = \frac{13}{2}\pi, \pm \frac{5}{2}\pi$$
...

Evs. les Ainim to $x = \pi$ sin α

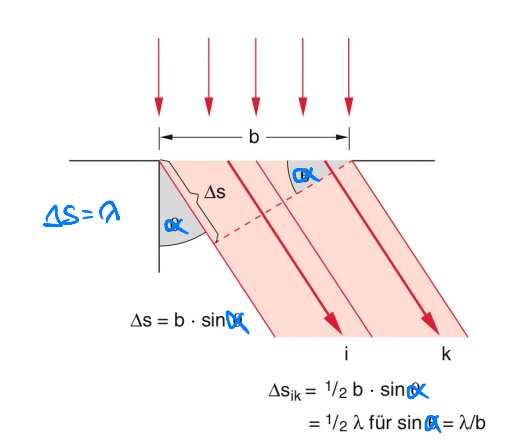
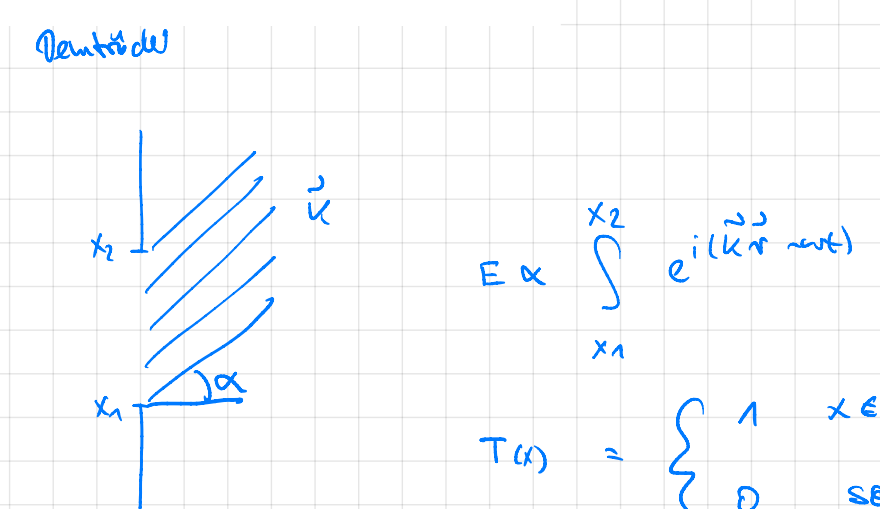
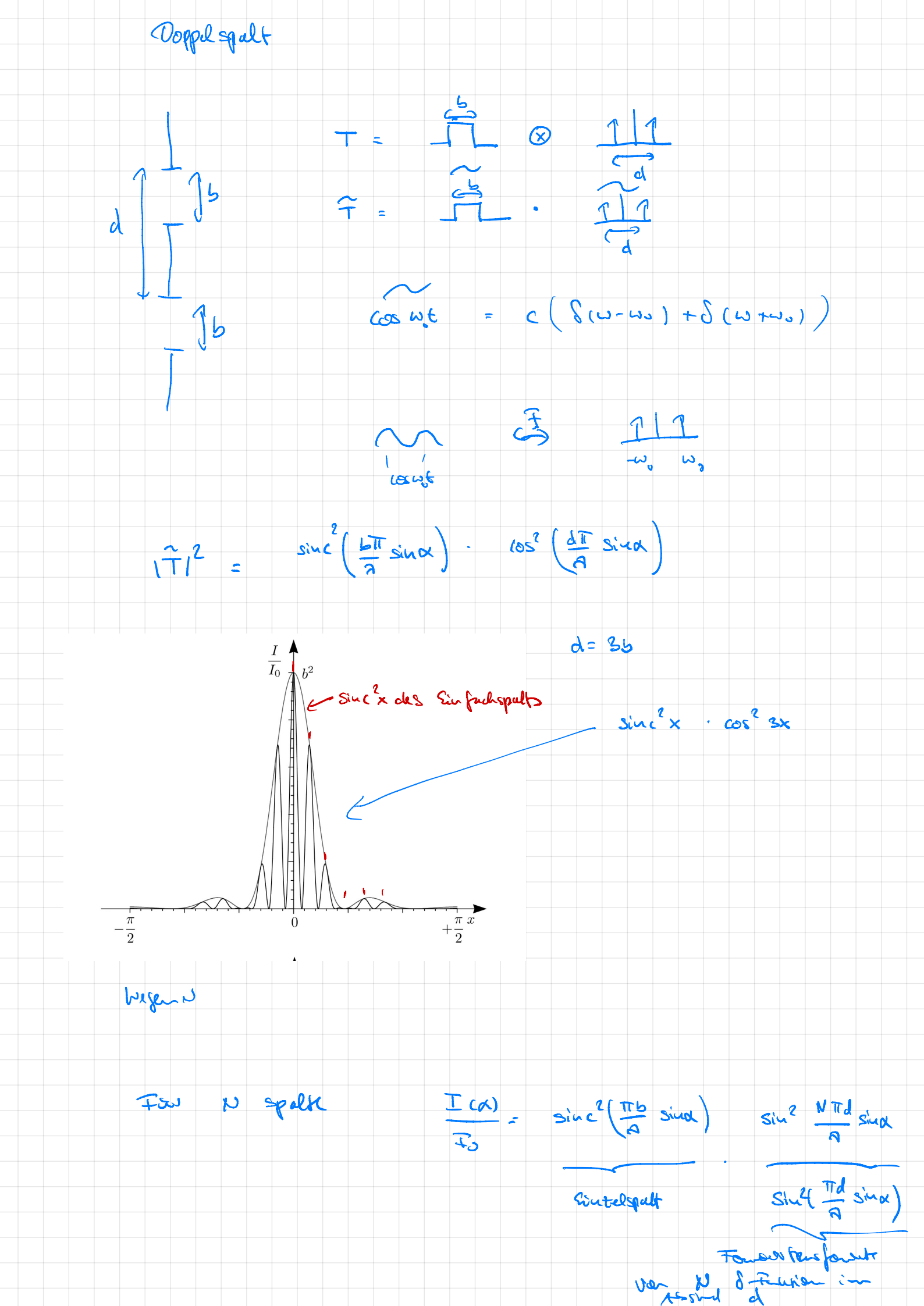


Abbildung 10.40 Zur anschaulichen Darstellung der Intensitätsminima







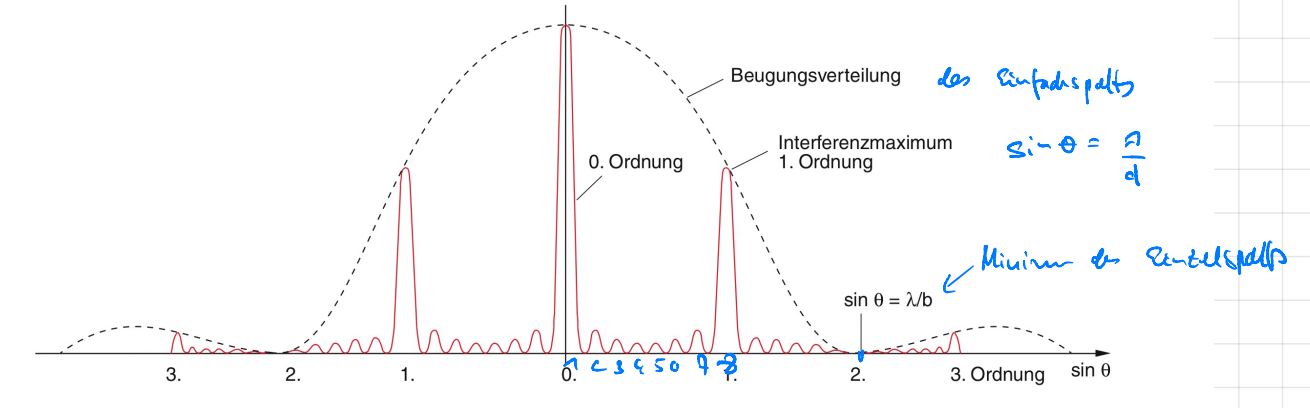
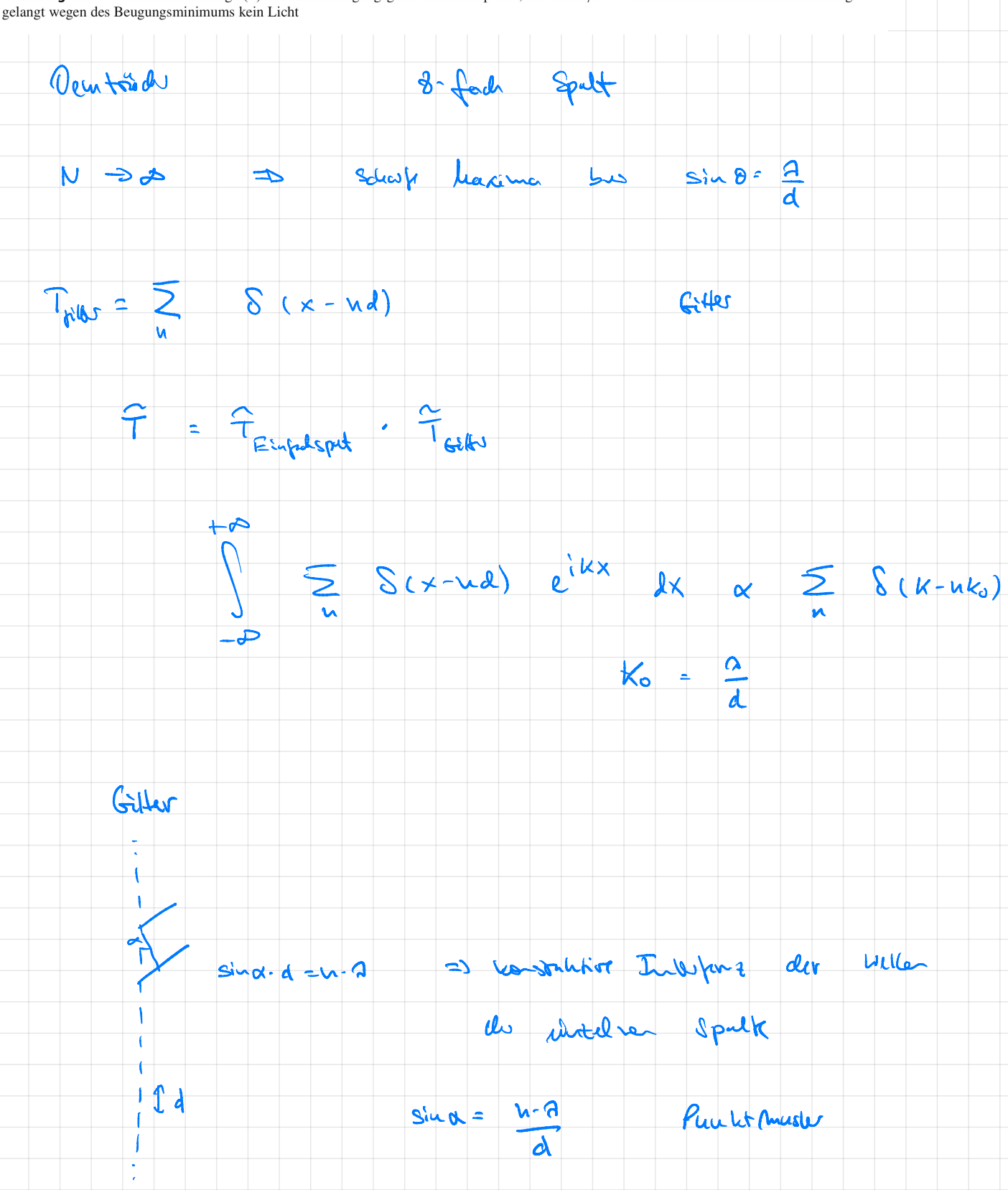
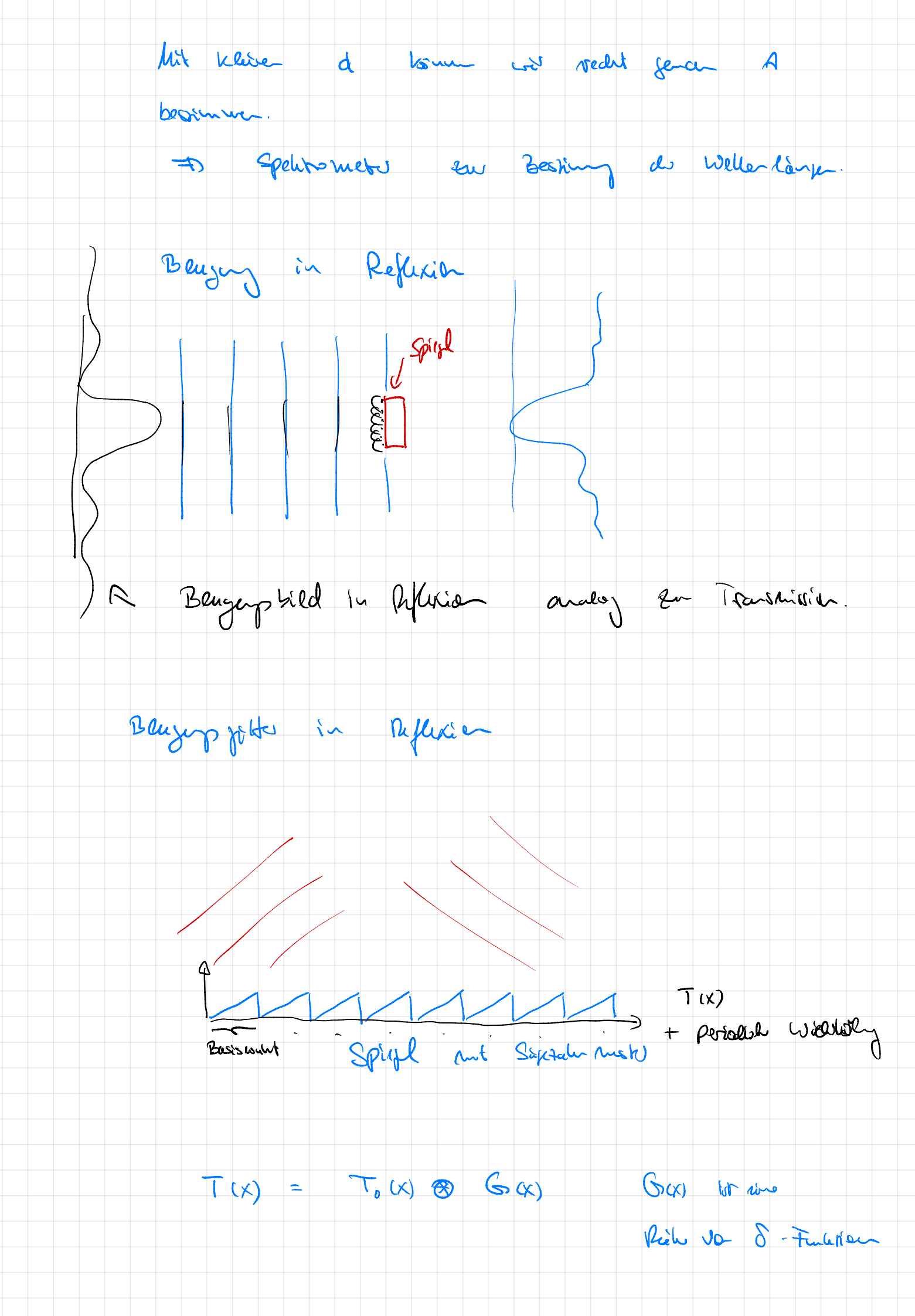
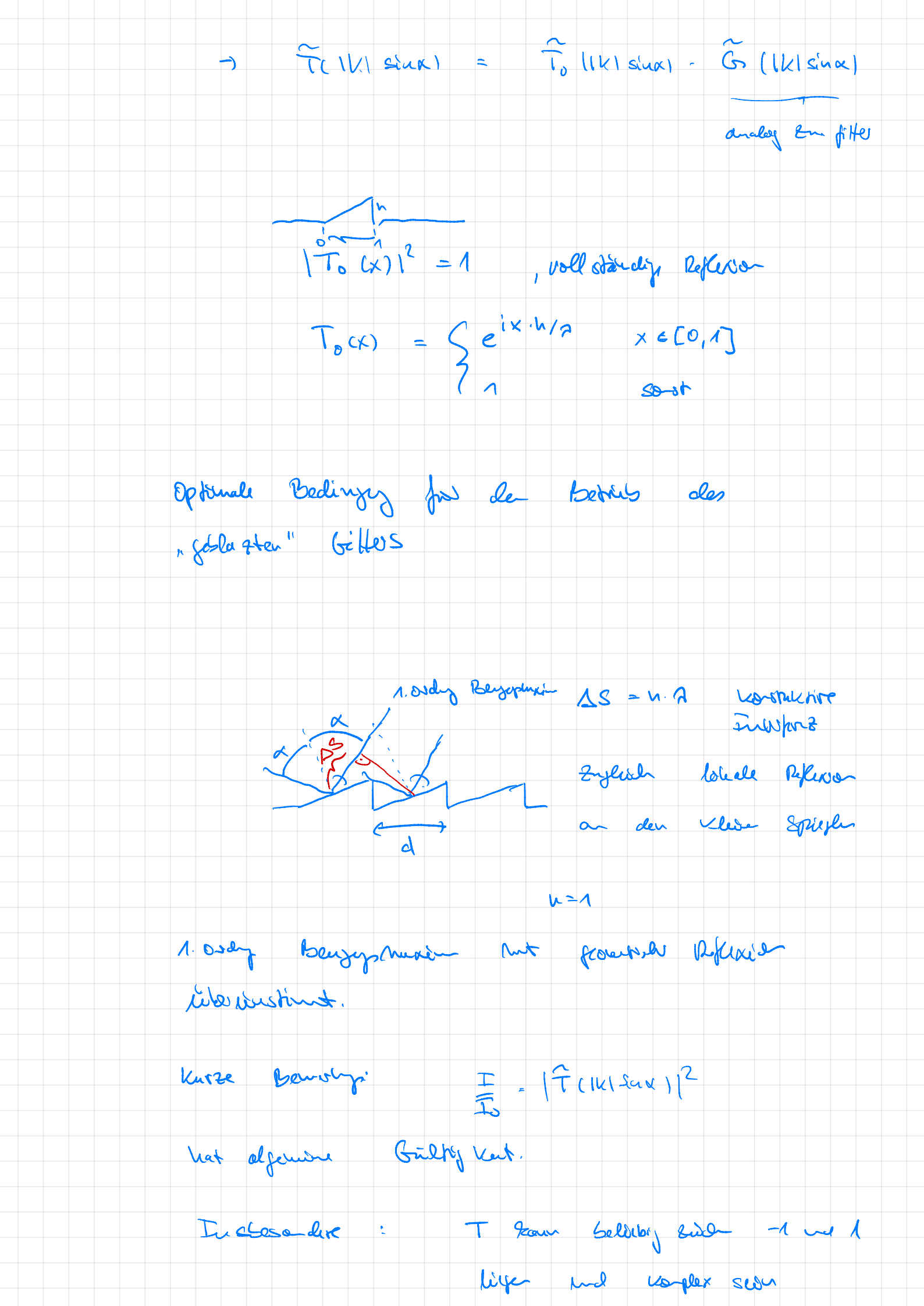


Abbildung 10.44 Intensitätsverteilung $I(\theta)$ bei einem Beugungsgitter mit acht Spalten, bei dem d/b=2 ist. In die zweite Interferenzordnung gelangt wegen des Beugungsminimums kein Licht







(TUXI)2 =1 warrian get der Rody and for sundows, and Fulkouer. T (x(5) $T(x,y) = T(x,y) e^{i(xx+ky)} dxdy$ Spezial pell: Lode Gounde tooth and any be Assildye my Linder $T(x,y) = \begin{cases} 1 & \text{for } x^2 + y^2 \leq R \\ 0 & \text{sown} \end{cases}$ lange Richary $\frac{T(x)}{T_0} = \left(\frac{2J_{\lambda}(x)}{x}\right)^2 \times \frac{TD}{A} \sin \alpha$ D: aerdunge In: Besselfantine 1. Ordy 1. Wull stille su 0, = 1.22 9/D

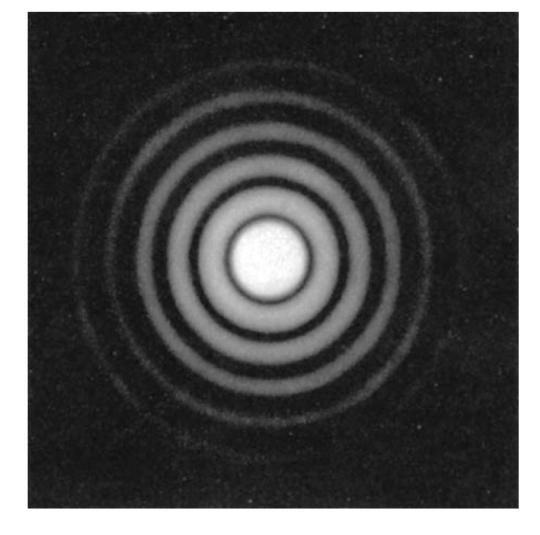


Abbildung 10.41 Ringförmige Beugungsstruktur hinter einer Kreisblende, die mit parallelem Licht beleuchtet wird. Aus M. Cagnet, M. Francon, J. C. Thrierr: *Atlas optischer Erscheinungen* (Springer, Berlin, Göttingen 1962)

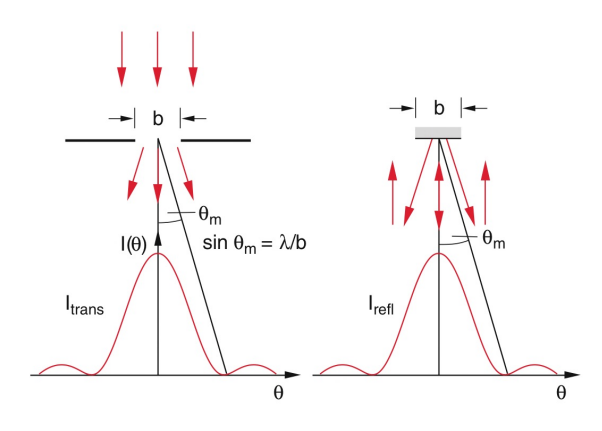


Abbildung 10.42 Äquivalenz der Beugung des durch eine Blende transmittierten Lichtes und des an einem Spiegel gleicher Breite b reflektierten Lichtes

Dentido

Ocute de

$$T(x)$$
 \xrightarrow{d} $\widehat{T}(k_x)$

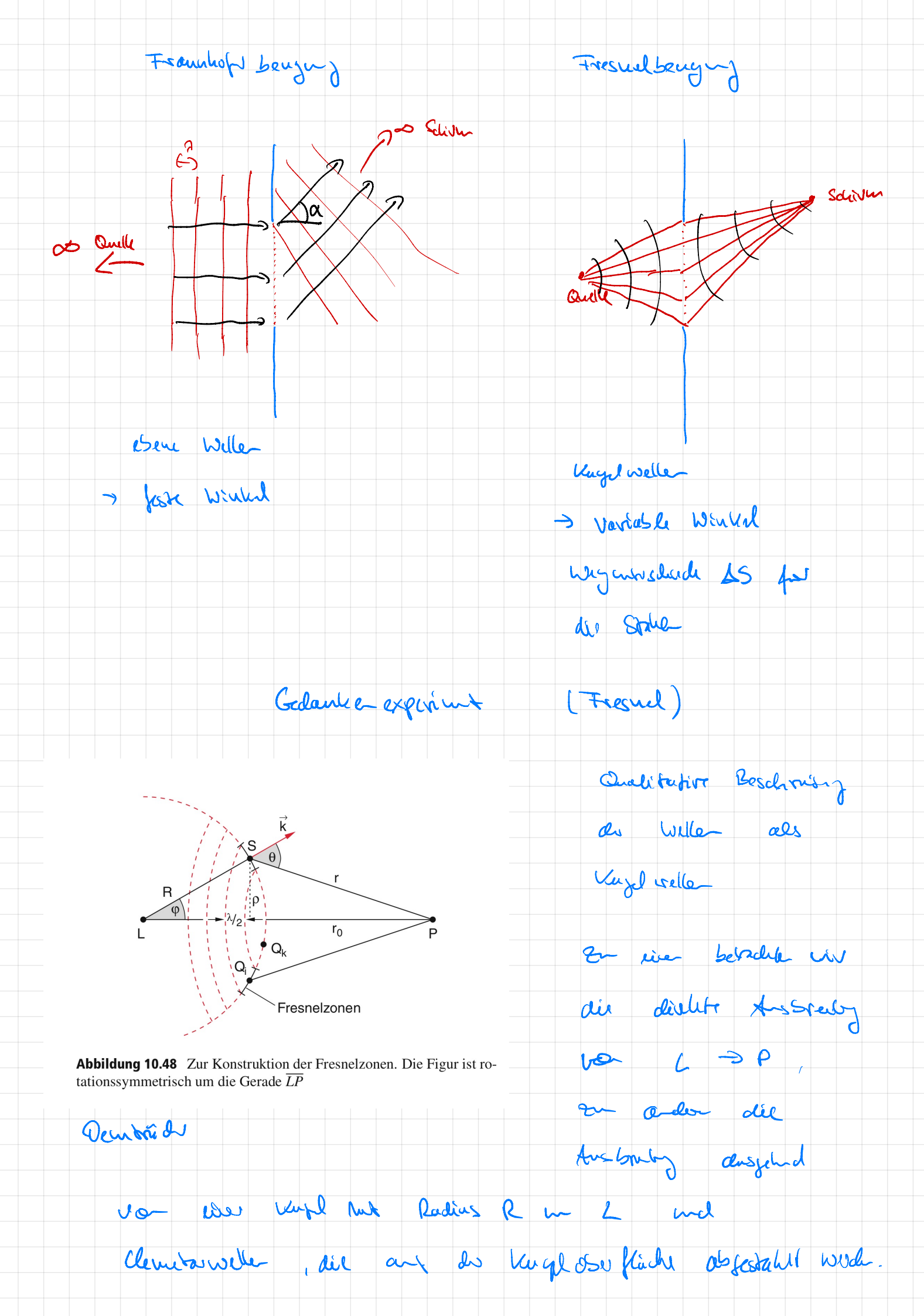
$$K_{x} = |K| \sin \alpha$$

$$= \frac{2\pi}{3} \sin \alpha$$

$$\overline{I}_{o} = \sqrt{\widehat{1}(k_{r})}(2$$

$$T(x) = f(x) \otimes f(x)$$

$$\left(\frac{1}{T} (x_x) \right)^2 = \left(\frac{1}{T} (x_x) \right)^2 \cdot \left(\frac{1}{T} (x_x) \right)^2$$



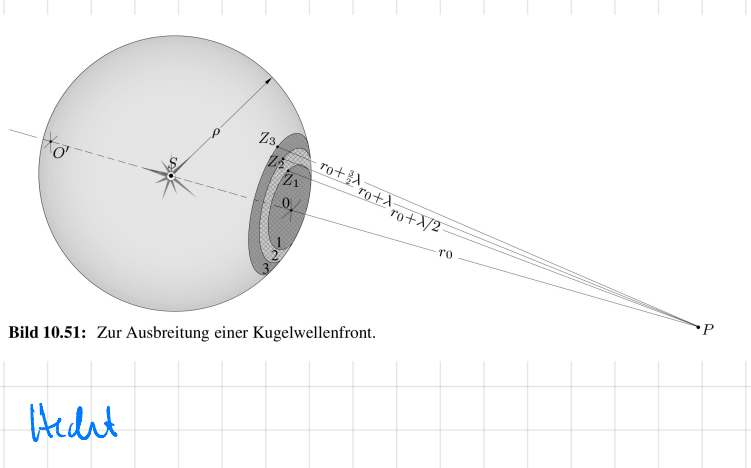
De Assend var P en a la glose parte un L'ist micht Konstart, d. h. die Phose der Eleuravelle, dis side in P verage varion. www untile der land flache in Fresuel zoren, due jewnes in we Phase (unval [0, TI], [TI, 277],... lieger. E(R) = Fo (WE-YR) anslænkale keyelvelle Len L Huggeren Prinzip: judo Pulut de Langel welle l'ist Ausgergs put wie men hydwelle Fresul: En cos O O< 900 (sous) O Kisdeholf: Er (1+cost)/2 Fresh Kirduloff Britis de un-ten Frisuelzone mi Flate I Su an Foldstille in furt p dEm = Kun Fu e dSm K=k(0) Km = coust hw

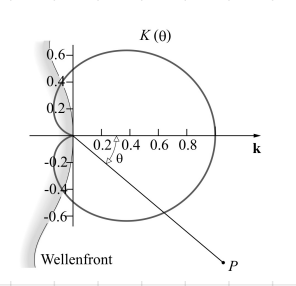
Wite Zone n2 = Q2 + (R+10) - 2R(R+10) (05 Q 1822P Kasinussels: Differential : 2 x dr = 2 R (R+10) sing de 1 Cm = 2713 R dy
= 271 (R sing) R dy = 271 R
R+10 Flache do unter done: Indepration: Nu = No + w = =D En = (-1) m+1 2 s km Ea R -: (k(R+10) - W+)

i (R+10) E(P) = \(\frac{1}{2} \) \(\text{Em} \) \(\text{Em} \) \(\text{Em} \) Wenn was anneline (doss X (D) mus leyson variet. 1Em | 2 (1Em-11 + 1En+1) $E(P) = \frac{1}{2} |E_1| + (\frac{1}{2} |E_2| + \frac{1}{2} |E_3|) + (\frac{1}{2} |E_3| + \frac{1}{2} |E_5|) + \cdots$ +1 1EN

TO EIP) 2 1 (1E1 + 1EN)

mol





Gult

E(P) = 5 Em

En = (-1) 2 × Kin En R - i((x(R+1)) - cox)

i(R+10)

Kn = - cos om

E = (-1) 41

2 (cos om) Fo = ((k(R+V) - w+)

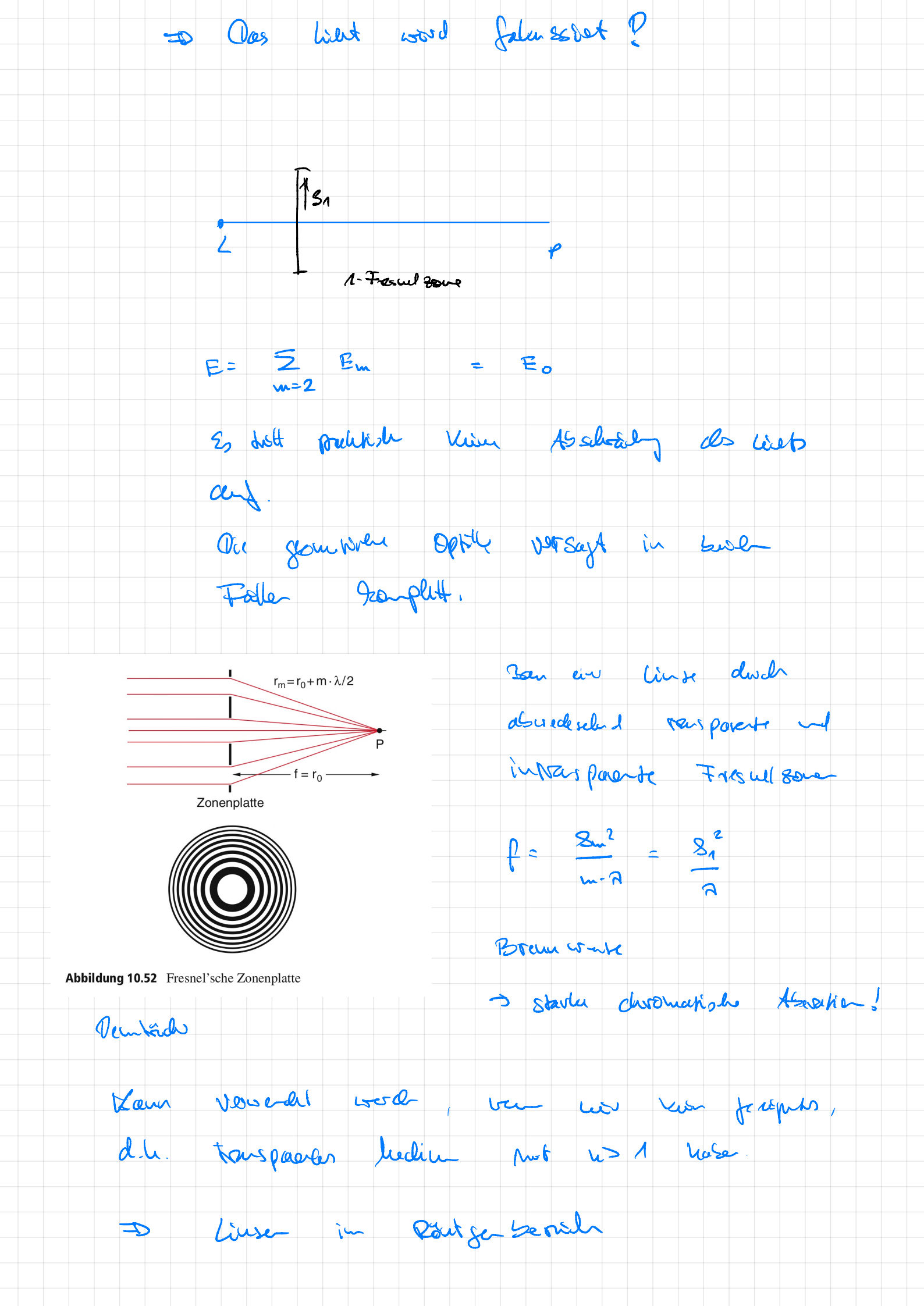
Sm = Jm. No. A

Dlaule

1. Fresing zone

= 2 E₀ 1 2 (k (276)-wt)
= 2 E₀ 2 0 E(P) = E1

Obs EFeld am Pulit P ist despelt so got Bled als due! Tutu STAR 4 - feds D



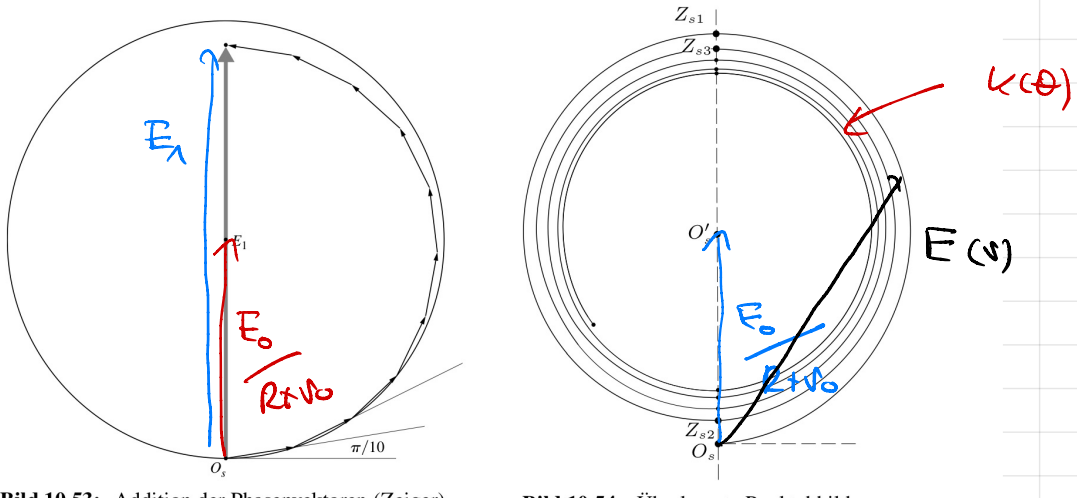
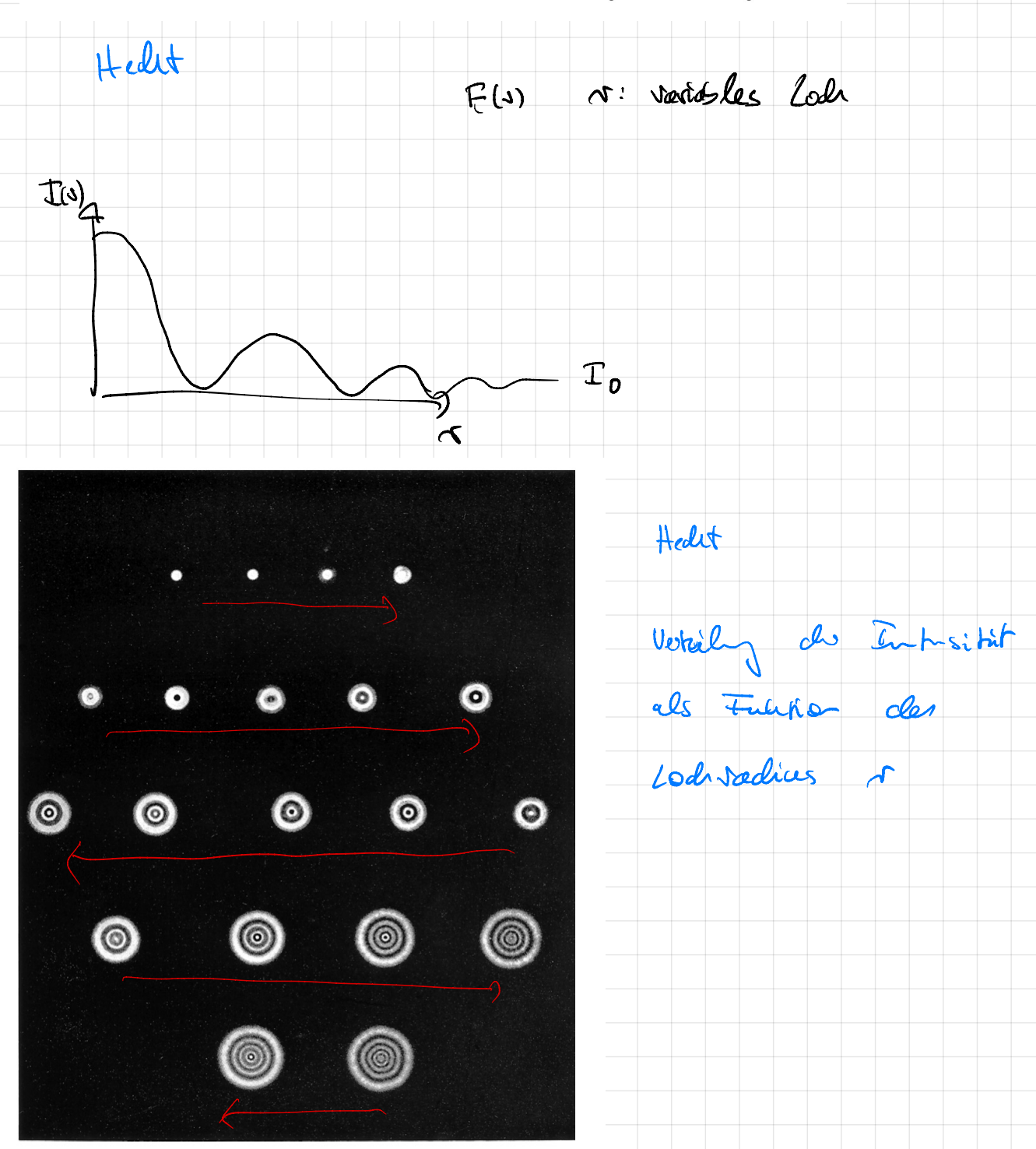


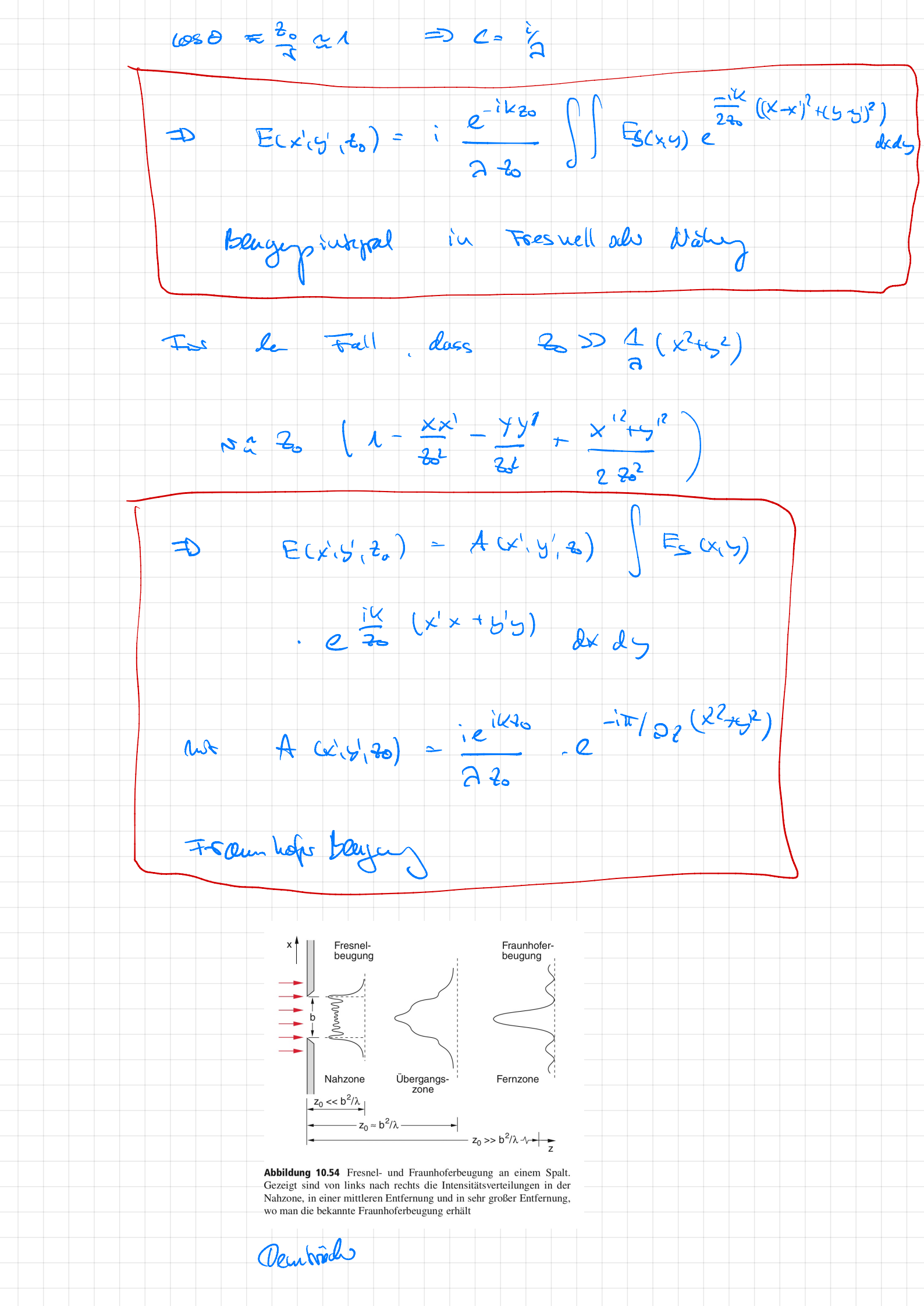
Bild 10.53: Addition der Phasenvektoren (Zeiger).

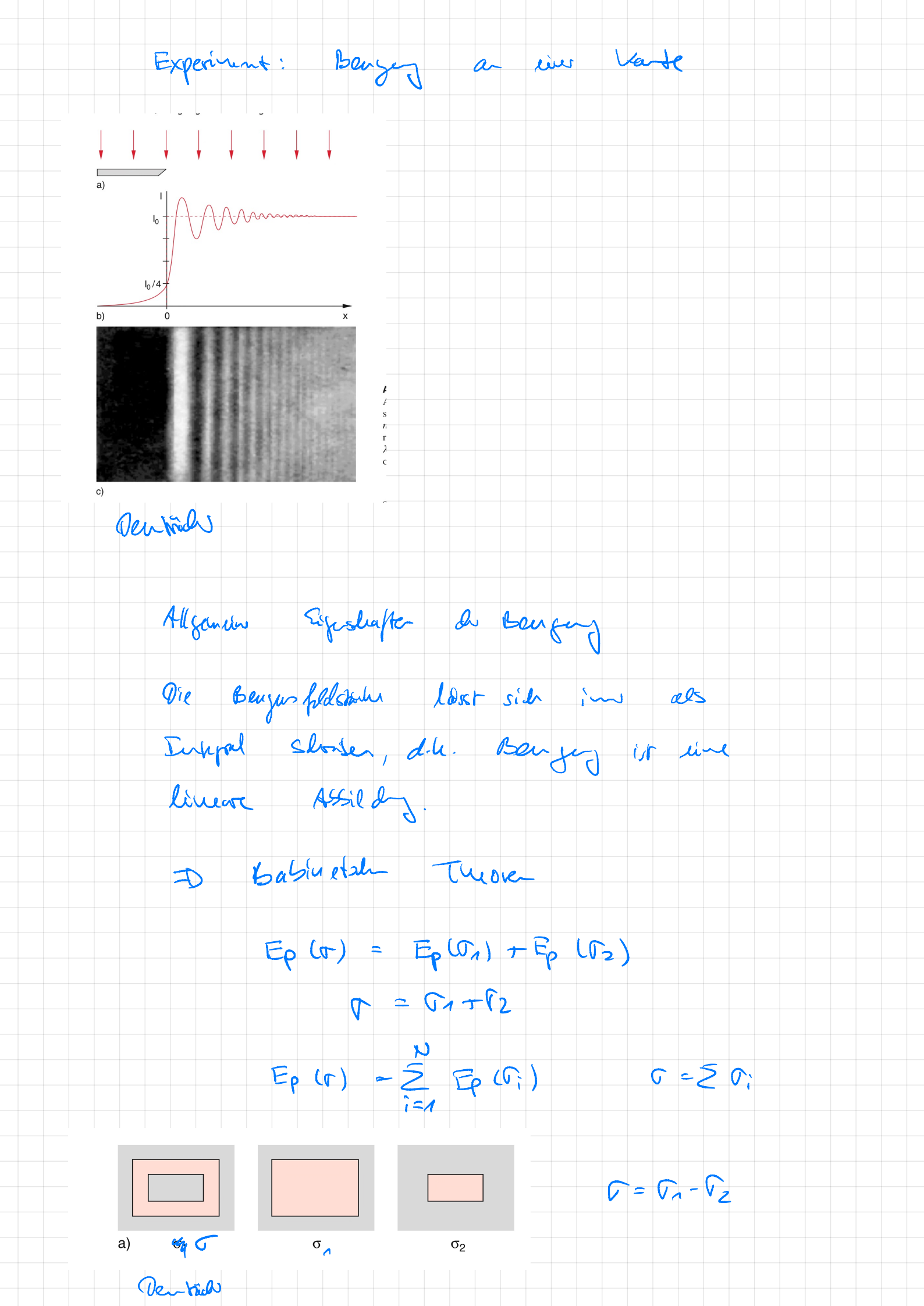
Bild 10.54: Überlagerte Punktabbildungen.



Beugungsmuster für kreisrunde Löcher von zunehmendem Durchmesser. (Francis Weston Sears, *Optics*, ©1949, Addison-Wesley, Reading, MA. Mit frdl. Genehmigung von Addison Wesley Longman, Inc.)

Pas bengap integal Es = Fo(x,5) e (4(x,5) Su dos E Feld Su 2=0 an de pasta (Shirtin) Ver un dus entraces uts du viene Elemps welle Quelle E. to. Pull Brung met schol & va Abbildung 10.53 Zur Herleitung des Fresnel-Kirchhoff'schen Beuhoch / Shiwn Pertial e (but - KR) $E_0(x,y) = \frac{A}{\sqrt{3^2 + x^2 + y^2}}$ R= g2 + x2+y2 dEp = C Es. do e : KS $C = \frac{1}{2}$ $\frac{1}{2}$ $\frac{1}{2}$ Ep 2 S C Es e aray 1 = 1 202 + (x-x') + (5-5)2 Fresuel- Windleoff Benga > manoishe two gation liefet Pp (x', y') Taylos $N \approx 20 \left(1 + \frac{|x-x'|^2}{2 \cdot 2^2} + \frac{(5-5')^2}{2 \cdot 20^2} + \dots \right)$ Bi Day bis quadratishe Term fund





Dies obispilet die beredy vor solst ralet vaplue leaster and item Lengary sieder. g= s+u = 3 (f) = J(g) +J(h) > =(4) = =(8) =(1) 4= 30h Experient Frankop beergy wes 6.7 Street The Opportunity of the Alexandra of the Den will Oipal word Em Schooly angrest no stall dann genofs do Dipolarte une glody de. $\frac{\partial}{\partial s} = \frac{\partial^2 x^2}{\partial s^2} + \frac{\partial^2 x^2}{\partial$: Soren a Gesande Mile Position des problèmes rober spetistische und Variosel. introvante strang, d.h. Kein fate Phase seain sure de cinzelu

